



UNIVERSITA' DEGLI STUDI DI
NAPOLI FEDERICO II

Scuola Politecnica e delle Scienze di Base
Corso di Laurea Magistrale in Ingegneria Aerospaziale

Dinamica e Simulazione di Volo

ELABORATO

Anno Accademico 2020/2021

Docente

De Marco Agostino

Candidato

Podda Isidora

matr. M53001246

Indice

1	Quaderno 3: Quaternione dell'orientamento di un velivolo	7
1.1	Introduzione	7
1.2	Looping Perfetto	9
1.2.1	Codice di calcolo	10
1.3	Tonneau	15
1.3.1	Codice di calcolo	15
1.4	Cuban eight	19
1.4.1	Codice di calcolo	19
1.5	Manovre acrobatiche con SIMULINK	24
2	Quaderno 7: Moto longitudinal-simmetrico	31
2.1	Introduzione	31
2.2	Esercizio 7.6 - Matlab	33
2.3	Esercizio 7.7 - Matlab	36
2.4	Esercizio 7.7 - Simulink	39
2.5	Esercizio 7.9 - Matlab	43
3	Quaderno 11: Moto longitudinal-simmetrico a comandi liberi	49
3.1	Introduzione	49
3.2	Esercizio 11.2 - Matlab	50
3.3	Esercizio 11.3 - Matlab	60
3.4	Esercizio 11.4 - Matlab	66
	Bibliography	77

Elenco delle figure

1.1	Algoritmo per la determinazione degli angoli di Eulero, note le componenti del quaternione dell'orientamento.	9
1.2	Rappresentazione della manovra di <i>looping perfetto</i>	14
1.3	Storie temporali per un orientamento iniziale definito dalle condizioni $\psi = \theta = \phi = 0$ e per delle assegnate leggi di variazione delle componenti della velocità angolare $q(t) = 1,00$ rad/s, $p(t) = r(t) = 0,00$ rad/s e delle componenti della velocità lineare $u(t) = 100,0$ m/s, $v(t) = w(t) = 0,00$ m/s.	15
1.4	Rappresentazione della manovra di <i>tonneau</i>	19
1.5	Leggi temporali del velivolo relative a una manovra di <i>tonneau</i>	20
1.6	Rappresentazione della manovra di <i>Cuban eight</i>	23
1.7	Leggi temporali del velivolo relative a una manovra di <i>Cuban eight</i>	24
1.8	Modello SIMULINK per la simulazione della manovra di loop.	26
1.9	Storie temporali delle componenti del quaternione.	27
1.10	Storie temporali delle coordinate del baricentro del velivolo.	27
1.11	Storie temporali degli angoli di Eulero.	28
1.12	Evoluzione della manovra di Loopin.	29
2.1	Valori di equilibrio al variare della velocità di volo iniziale per $\delta_{s,0} = 0$ deg.	36
2.2	Valori di equilibrio al variare della velocità di volo iniziale per $\delta_{s,0} = -1$ deg.	39
2.3	Modello Simulink del problema di trim.	41
2.4	"Steady State Manager" tool - States.	42
2.5	"Steady State Manager" tool - Inputs.	42
2.6	Valori di equilibrio al variare della velocità di volo iniziale per $\delta_{s,0} = -1$ deg.	43
2.7	Legge di manovra dell'equilibratore " <i>cabra-picchia</i> ".	47
2.8	Storie temporali delle variabili di stato.	48
3.1	Storie temporali di alcune delle variabili di stato.	57
3.2	Storie temporali di alcune delle variabili di stato.	58
3.3	Storie temporali delle grandezze concernenti la deflessione dell'equilibratore e il momento aerodinamico di cerniera agente su di esso.	59
3.4	Storie temporali dell'accelerazione angolare di beccheggio e dei fattori di carico f_{xA} e f_{zA}	60
3.5	Storie temporali delle grandezze inerenti alla deflessione.	65
3.6	Storie temporali dei comandi di volo assegnate a partire dai rispettivi valori di equilibrio.	72

3.7	Storie temporali di alcune delle variabili di stato.	73
3.8	Storie temporali di alcune delle variabili di stato.	74
3.9	Storie temporali delle grandezze concernenti la deflessione dell'equilibratore.	75
3.10	Storie temporali dell'accelerazione angolare di beccheggio e dei fattori di carico.	76

Quaternione dell'orientamento di un velivolo

Contents

1.1	Introduzione	7
1.2	Looping Perfetto	9
1.2.1	Codice di calcolo	10
1.3	Tonneau	15
1.3.1	Codice di calcolo	15
1.4	Cuban eight	19
1.4.1	Codice di calcolo	19
1.5	Manovre acrobatiche con SIMULINK	24

1.1 Introduzione

In questa sezione si pone l'obiettivo di analizzare la cinematica del moto di un velivolo durante la realizzazione di manovre acrobatiche.

Alla base di tale trattazione si ritengono verificate due ipotesi fondamentali: Terra piatta e inerziale e di velivolo considerato come corpo rigido .

Per cui la prima assunzione consente di considerare la terna degli assi Terra \mathcal{T}_E come un sistema di riferimento fisso e inerziale mentre, la seconda assunzione consente di definire che il velivolo presenta, nello spazio, sei gradi di libertà rigidi, tre di natura traslazionale e tre di natura rotazionale.

La cinematica del moto del velivolo risulta essere descritta dalla storia temporale delle componenti del vettore che ne definisce lo stato nello spazio. A seconda che la parametrizzazione dell'orientamento impiegata si basi sugli angoli di Eulero (1.1) o sulle componenti del quaternione dell'orientamento (1.2), ove x_{EG} , y_{EG} , z_{EG} rappresentano le coordinate del baricentro del velivolo rispetto al riferimento Terra.

$$x_s = [x_{EG}(t), y_{EG}(t), z_{EG}(t), \psi(t), \theta(t), \phi(t)]^T \quad (1.1)$$

$$x_s = [x_{EG}(t), y_{EG}(t), z_{EG}(t), q_0(t), q_x(t), q_y(t), q_z(t)]^T \quad (1.2)$$

Per lo studio della cinematica del moto di un velivolo durante ciascuna delle manovre proposte, si riterranno assegnate nel riferimento Body T_B le leggi temporali di u, v, w , componenti della velocità lineare \mathbf{V} e di p, q, r , componenti della velocità angolare. La determinazione delle storie temporali delle variabili di stato verrà realizzata integrando numericamente ben due sistemi di equazioni differenziali corredati da opportune condizioni iniziali e particolarizzati a seconda della parametrizzazione adottata.

Una prima possibile parametrizzazione è quella che adotta una formulazione basata sugli angoli di Eulero. In tal caso, la determinazione della cinematica del velivolo si riconduce all'integrazione dei seguenti sistemi di equazioni differenziali:

$$\begin{Bmatrix} \dot{x}_{EG} \\ \dot{y}_{EG} \\ \dot{z}_{EG} \end{Bmatrix} = \begin{bmatrix} C_\theta C_\psi & S_\phi S_\theta C_\phi - C_\phi S_\psi & C_\phi S_\theta C_\psi + S_\phi S_\psi \\ C_\theta S_\psi & S_\phi S_\theta S_\psi + C_\phi C_\psi & C_\phi S_\theta S_\psi - S_\phi C_\psi \\ -S_\theta & S_\phi C_\theta & C_\phi C_\theta \end{bmatrix} \begin{Bmatrix} u \\ v \\ w \end{Bmatrix} \quad (1.3)$$

$$\begin{Bmatrix} \dot{\phi}_{EG} \\ \dot{\theta}_{EG} \\ \dot{\psi}_{EG} \end{Bmatrix} = \begin{bmatrix} 1 & \frac{S_\phi S_\theta}{C_\theta} & \frac{C_\phi S_\theta}{C_\theta} \\ 0 & C_\psi & -S_\phi \\ 0 & \frac{S_\phi}{C_\theta} & \frac{C_\phi}{C_\theta} \end{bmatrix} \begin{Bmatrix} p \\ q \\ r \end{Bmatrix} \quad (1.4)$$

dove le (1.3) e le (1.4) sono denominate rispettivamente *NavigationEquations* e *GimbalEquations*.

Per evitare di incorrere nel proble del *GimbalLock* ove, per $\theta = +\frac{\pi}{2}$ le (1.4) diventano singolari rendendo indeterminata l'integrazione nel tempo egli angoli di Eulero. Per evitare ciò, dunque, risulta conveniente adottare una parametrizzazione basata sulle componenti del quaternione dell'orientamento che non presenta alcun tipo di singolarità. I sistemi di equazioni differenziali da integrare risultano essere, in questo caso, i seguenti:

$$\begin{Bmatrix} \dot{x}_{EG} \\ \dot{y}_{EG} \\ \dot{z}_{EG} \end{Bmatrix} = \begin{bmatrix} q_0^2 + q_x^2 - q_y^2 - q_z^2 & 2(q_x q_y - q_0 q_z) & 2(q_z q_x + q_0 q_y) \\ 2(q_x q_y + q_0 q_z) & q_0^2 - q_x^2 + q_y^2 - q_z^2 & 2(q_y q_z - q_0 q_x) \\ 2(q_z q_x - q_0 q_y) & 2(q_y q_z + q_0 q_x) & q_0^2 - q_x^2 - q_y^2 + q_z^2 \end{bmatrix} \begin{Bmatrix} u \\ v \\ w \end{Bmatrix} \quad (1.5)$$

$$\begin{Bmatrix} \dot{q}_0 \\ \dot{q}_x \\ \dot{q}_y \\ \dot{q}_z \end{Bmatrix} = \frac{1}{2} \begin{bmatrix} 0 & -p & -q & -r \\ p & 0 & r & -q \\ q & -r & 0 & p \\ r & q & -p & 0 \end{bmatrix} \begin{Bmatrix} p_0 \\ p_x \\ p_y \\ p_z \end{Bmatrix} \quad (1.6)$$

dove le (1.5) e le (1.6) rappresentano la forma equivalente delle *NavigationEquations* e delle *GimbalEquations* elencate in precedenza.

L'algoritmo finalizzato alla determinazione degli angoli di Eulero, note le componenti del quaternion dell'orientamento, risulta essere il seguente:

$$\begin{aligned}
 &\text{if } (q_0 q_y - q_x q_z) = 0,50 \text{ then} \\
 &\quad \begin{pmatrix} \phi \\ \theta \\ \psi \end{pmatrix} := \begin{pmatrix} 2 \operatorname{asin} \left(\frac{q_x}{\cos(\pi/4)} \right) + \psi \\ + \frac{\pi}{2} \\ \text{arbitrary} \end{pmatrix} \\
 &\text{else if } (q_0 q_y - q_x q_z) = -0,50 \text{ then} \\
 &\quad \begin{pmatrix} \phi \\ \theta \\ \psi \end{pmatrix} := \begin{pmatrix} 2 \operatorname{asin} \left(\frac{q_x}{\cos(\pi/4)} \right) - \psi \\ - \frac{\pi}{2} \\ \text{arbitrary} \end{pmatrix} \\
 &\text{else} \\
 &\quad \begin{pmatrix} \phi \\ \theta \\ \psi \end{pmatrix} := \begin{pmatrix} \operatorname{atan2} \left[2 (q_0 q_x + q_y q_z), (q_0^2 - q_x^2 - q_y^2 + q_z^2) \right] \\ \operatorname{asin} \left[2 (q_0 q_y - q_x q_z) \right] \\ \operatorname{atan2} \left[2 (q_0 q_z + q_x q_y), (q_0^2 + q_x^2 - q_y^2 - q_z^2) \right] \end{pmatrix} \\
 &\text{end if}
 \end{aligned}$$

Figura 1.1 Algoritmo per la determinazione degli angoli di Eulero, note le componenti del quaternion dell'orientamento.

1.2 Looping Perfetto

Il looping si esegue cabrando l'aereo affinché esegua un giro completo a forma di anello (loop). Un looping perfetto dovrebbe disegnare una traiettoria circolare perfetta che si chiude esattamente nello stesso punto, per quota, posizione e direzione del velivolo, in cui si è cominciata.

In generale, nella prima fase del looping il velivolo acquista quota fino a portarsi in volo rovesciato, e a volte è indispensabile "dare motore" per compensare la perdita di velocità. Nella seconda fase del looping l'aereo scende tornando alla quota iniziale e l'energia potenziale si trasforma in energia cinetica, per cui la potenza del motore dovrà essere ridotta. Acquistando sufficiente energia cinetica all'entrata della manovra (con una picchiata), è comunque possibile, con molti tipi di velivolo, effettuare un looping senza intervenire sul motore.

1.2.1 Codice di calcolo

Di seguito è riportato il codice di calcolo per la riproduzione della manovra di looping perfetto, proposta nell'esercizio 3.1 assegnato in [2].

Sono stati assegnati gli angoli d'Eulero all'istante iniziale che per ali livellate, fusoliera orizzontale e prua verso Nord sono tutti nulli, da cui sono state ricavate le componenti iniziali del quaternione dell'orientamento tramite la function `angle2quat` che permette di convertire gli angoli di Eulero (espressi in radianti) nel quaternione dell'orientamento.

Sono state inoltre assegnate delle plausibili storie temporali delle componenti di velocità del baricentro negli assi body $u(t)$, $v(t)$ e $w(t)$ e delle componenti di velocità istantanea angolare $p(t)$, $q(t)$ e $r(t)$.

È possibile supporre che la velocità angolare di beccheggio, inizialmente nulla, al tempo di inizio manovra, cresce fino ad un valore q_{max} mantenuto costante durante la manovra, per poi tornare a 0 nella fase terminale della stessa.

Nel listato 1.1 è mostrato lo script che risolve gymbal eq. nella forma del quaternione e le equazioni della navigazione per una manovra reale di Looping.

Listing 1.1

```

1 clear all
2 close all
3 clc
4
5 %% CINEMATICA DELL'EVOLUZIONE DI LOOPING PERFETTO IN MATLAB
6 % Si scriva un programma che risolve il problema di valori iniziali
7 % assegnato e disegna i grafici necessari
8
9 %% Condizioni iniziali
10 % Supponiamo un velivolo inizialmente in volo livellato, con fusoliera
11 % orizzontale e prua diretta verso il nord
12
13 % Per applicare la 1.6, ci occorrono gli angoli di Eulero da mettere
14 % nella
15 % 3.61 [3] per ottenere il vettore {q0 qX qY qZ}'
16
17 % Angoli di Eulero in deg
18 psi_0 = 0;      %[deg]
19 teta_0 = 0;     %[deg]
20 phi_0 = 0;      %[deg]
21
22 % Conversione in rad
23 psi_0=convang(psi_0,'deg','rad');
24 teta_0=convang(teta_0,'deg','rad');
25 phi_0=convang(phi_0,'deg','rad');
26
27 Q_0=angle2quat(psi_0, teta_0, phi_0)
28
29 % Posizione iniziale negli assi

```

```

29 x_0=0;
30 y_0=0;
31 z_0=0;
32 PosE0=[x_0,y_0,z_0];
33
34 % Tempo di simulazione [t_0, t_f]
35 t_0=0;
36 t_f=2*pi;
37 tt=linspace(t_0,t_f,1e3);
38
39 %% Quaternione
40
41 % Per il looping p (rollio) ed r (imbardata) restano identicamente nulle,
42 % q (beccheggio) costante non nulla
43
44 qmax=1;
45 p=@(t) 0;
46 r=@(t) 0;
47 q=@(t) interp1([0.05*t_f 0.1*t_f 0.2*t_f 0.3*t_f 0.4*t_f 0.5*t_f ...
48               0.6*t_f 0.7*t_f 0.8*t_f 0.9*t_f t_f ],...
49               [qmax qmax qmax qmax qmax qmax qmax qmax qmax qmax qmax],t,'pchip'
50               );
51
52 % Possiamo risolvere il secondo membro della 1.6
53 dQuatdt = @(t,Q) 0.5.*[0,-p(t),-q(t),-r(t);
54 p(t), 0, r(t),-q(t);
55 q(t),-r(t), 0, p(t);
56 r(t), q(t),-p(t), 0]*Q;
57
58 % Opzioni di tolleranza numerica
59 options=odeset('RelTol',1e-9,'AbsTol',1e-9);
60 [vtime, vquat] = ode45(dQuatdt, [0 t_f], Q_0, options);
61
62
63 [vpsir,vthetar,vphir]=quat2angle(vquat); %Quaternione angoli in rad eq3
64 .62
65
66 % Converto gli angoli in deg
67 vpsi=convang(vpsir,'rad','deg');
68 vtheta=convang(vthetar,'rad','deg');
69 vphi=convang(vphir,'rad','deg');
70
71 %% Traslazione del baricentro
72
73 % Al Tempo t=0 in m/s
74 u0=100;
75 v0=0;
76 w0=0;
77
78 V0=sqrt(u0*u0+v0*v0+w0*w0); %modulo della velocit
79
80 u=@(t)interp1([0.05 0.1*t_f 0.2*t_f 0.3*t_f 0.4*t_f 0.5*t_f...
81               0.6*t_f 0.7*t_f 0.8*t_f 0.9*t_f t_f],[u0 u0 u0 ...
82               u0 u0 u0 u0 u0],t,'pchip');
83 v=@(t) 0;

```

```

83 w=@(t) 0;
84
85 %% Integrazione delle equazioni della Navigazione noto il quaternione
86
87 Quate = @(t) ... %Sto integrando le componenti del Quaternione nel tempo
88 [interp1(vtime,vquat(:,1),t), ...
89 interp1(vtime,vquat(:,2),t), ...
90 interp1(vtime,vquat(:,3),t), ...
91 interp1(vtime,vquat(:,4),t)];
92 T_BE = @(Q)quat2dcm(Q); % Matrice di trasformazione da Earth to body axes
93
94 % RHS equazioni della navigazione (Eq3.25)
95 dPosEdt = @(t,PosE) transpose(quat2dcm(Quate(t)))*[u(t);v(t);w(t)];
96
97 %% Soluzioni delle equazioni della navigazione
98 options = odeset('RelTol',1e-9,'AbsTol',1e-9*ones(3,1));
99 [vtime, vPosE] = ode45(dPosEdt, vtime, PosE0, options);
100 N = length(vPosE);
101 vXe = vPosE(:,1); vYe = vPosE(:,2); vZe = z_0 + vPosE(:,3);

```

La Figura 1.3 mostra le storie temporali per una scelta dei valori di u_0 e q_0 data da: $u_0 = 100m/s, q_0 = 1,00rad/s$.

La Figura 1.2 è una rappresentazione tridimensionale della manovra.

Si noti che in Figura 1.3 l'angolo $\theta(t)$ inizialmente è uguale proprio all'angolo che sottende l'arco di circonferenza descritto dal baricentro nel tempo $t - t_0$, dove $t_0 = 0$, e dunque cresce linearmente secondo la legge $\theta = q_0 t$; dopo aver raggiunto un valore pari a π (condizione di *gimbal lock*) diminuisce con un rateo di variazione in valore assoluto uguale ancora a q_0 fino al valore di 2π (nuova condizione di *gimbal lock*), per poi cresce nuovamente, ancora con legge lineare.

Gli angoli ϕ e ψ , invece, hanno un andamento temporale costante a tratti, presentando un salto di ± 1 rad in corrispondenza delle due condizioni di *gimbal lock*.

Si noti, inoltre, come le componenti del quaternioni dell'orientamento variano con continuità, a conferma del fatto che la parametrizzazione dell'orientamento basata sui parametri di Eulero-Rodriguez non presenta singolarità.

Le componenti della velocità lineare lungo gli assi Terra x_E e z_E hanno un andamento sinusoidale nel tempo, essendo le componenti, lungo due direzioni ortogonali, di un vettore tangente punto per punto alla circonferenza descritta dal moto circolare uniforme del suo punto di applicazione.

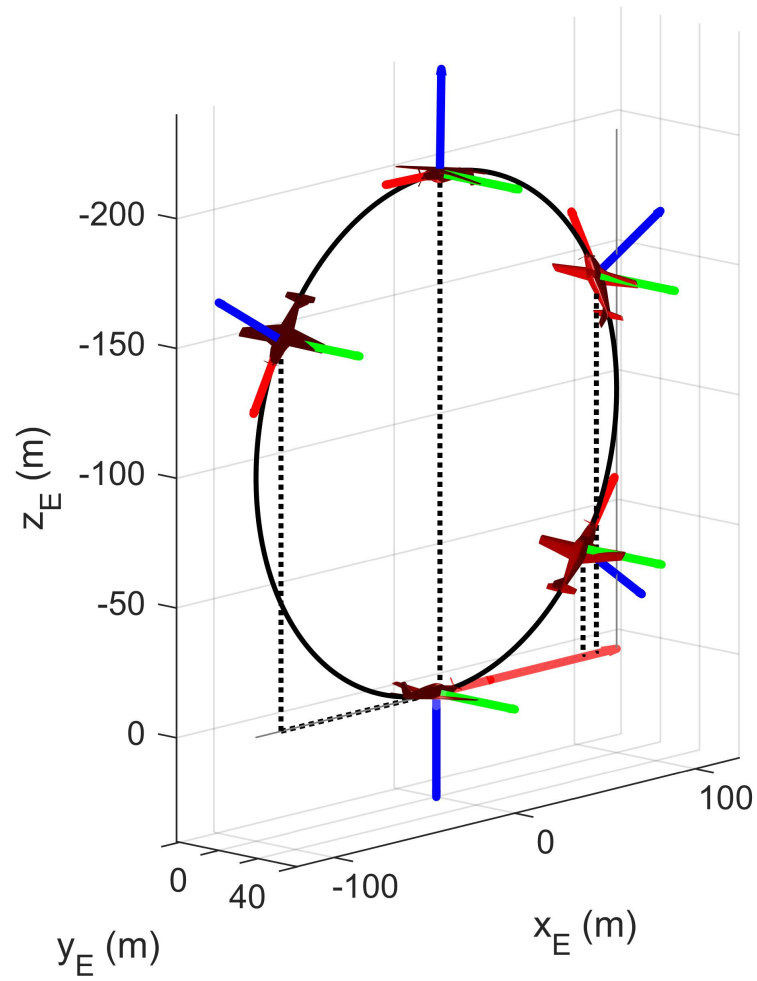


Figura 1.2 Rappresentazione della manovra di *looping perfetto*.

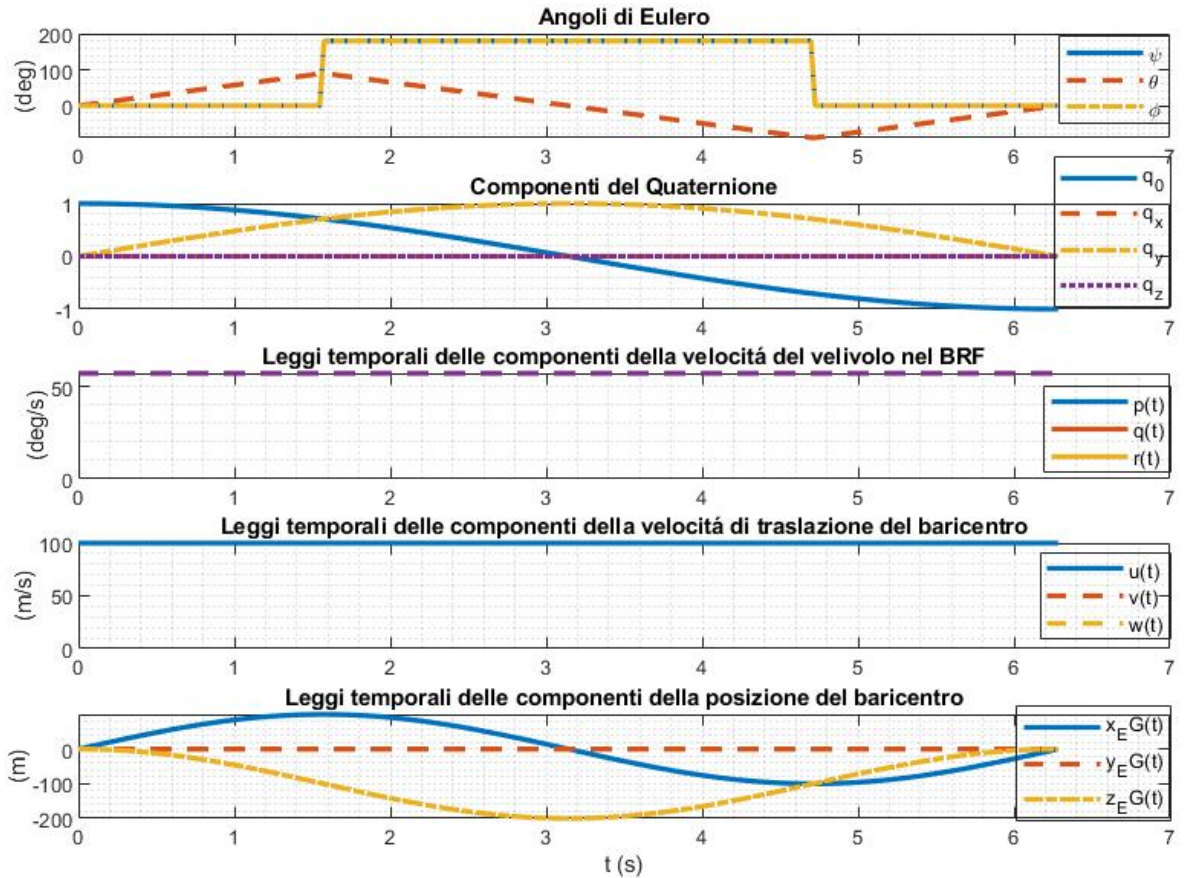


Figura 1.3 Storie temporali per un orientamento iniziale definito dalle condizioni $\psi = \theta = \phi = 0$ e per delle assegnate leggi di variazione delle componenti della velocità angolare $q(t) = 1,00 \text{ rad/s}$, $p(t) = r(t) = 0,00 \text{ rad/s}$ e delle componenti della velocità lineare $u(t) = 100,0 \text{ m/s}$, $v(t) = w(t) = 0,00 \text{ m/s}$.

1.3 Tonneau

Il *tonneau* è una manovra che porta il velivolo a ruotare di 360° attorno all'asse longitudinale di rollio. Esistono diverse varianti di questa manovra, a seconda che venga eseguita più o meno rapidamente e mantenendo orizzontale l'asse del velivolo oppure compiendo una volta più o meno ampia. In quest'ultimo caso si parla di tonneau a botte, in quanto il velivolo oltre a ruotare attorno all'asse longitudinale, descrive una sorta di traiettoria elicoidale che somiglia alla spirale sulla superficie interna di una botte. Se si ruota di soli 180° si parla di mezzo tonneau.

1.3.1 Codice di calcolo

Di seguito è riportato il codice di calcolo per la riproduzione della manovra di *tonneau*, proposta nell'esercizio 3.3 assegnato in [2].

Per l'implementazione dello script, sono state considerate le seguenti condizioni:

- Si assumono identicamente nulle le componenti $v(t) = w(t) = 0$ km/h e $r(t) = 0$ rad/s.
- La velocità angolare di rollio $p(t)$, inizialmente nulla e crescente con t , fino al raggiungimento di un valore costante p_{max} .
- Una analoga legge per la componente di velocità angolare di beccheggio $q(t)$, ma con q_{max} pari alla metà di p_{max} .
- La $u(t)$ inizialmente pari a $u_0 = 380$ km/h, decrescente con t fino a un valore minimo e successivamente crescente con t in modo da raggiungere u_0 a fine manovra.

E' di seguito presentato lo script utilizzato per la simulazione.

Listing 1.2

```

1 clear all
2 close all
3 clc
4
5 %% CINEMATICA DELL'EVOLUZIONE DI TONNEAU IN MATLAB
6
7 %% Condizioni iniziali
8 % Supponiamo un velivolo inizialmente in volo livellato, con fusoliera
9 % orizzontale e prua diretta verso il nord
10
11 % Per applicare la 1.6, ci occorrono gli angoli di Eulero da mettere
    nella
12 % 3.61 [vedi Quaderno 3] per ottenere il vettore {q0 qX qY qZ}'
13
14 % Angoli di Eulero in deg
15 psi_0 = 0;      %[deg]
16 teta_0 = 0;     %[deg]
17 phi_0 = 0;      %[deg]
18
19 % Conversione in rad
20 psi_0=convang(psi_0, 'deg', 'rad');
21 teta_0=convang(teta_0, 'deg', 'rad');
22 phi_0=convang(phi_0, 'deg', 'rad');
23
24 % Attraverso l'utilizzo della funzione angle2quat    possibile ottenere
    le
25 % componenti del quaternione {q0 qX qY qZ}'
26 Q_0=angle2quat(psi_0, teta_0, phi_0)
27
28 % Posizione iniziale negli assi
29 x_0=0;
30 y_0=0;
31 z_0=0;
32 PosE0=[x_0,y_0,z_0];
33
34 % Tempo di simulazione [t_0, t_f]
35 t_0=0;
36 t_f=7.0;
37 tt=linspace(t_0,t_f,1e3);
38

```



```

39 %% Quaternione
40 % Ora per applicare la 1.6 mi occorre conoscere le componenti
41 % della velocit  angolare nel tempo {p (t), q(t), r(t)},
42 % dipendenti dal tempo in quanto il sistema evolve
43 % Per il looping p (rollio) ed r (imbardata) restano identicamente nulle,
44 % q (beccheggio) costante non nulla
45
46 p_cost=0.5; %valori in rad/s
47 q_cost=1;
48 r_cost=0;
49 p=@(t) interp1([0, t_f/30, t_f/10, t_f/5, 0.7*t_f, 0.9*t_f, ...
50     t_f],[p_cost, p_cost, p_cost, p_cost, p_cost, p_cost, p_cost],...
51     t,'pchip'); %Velovict  angolare di rollio in rad/s
52 q=@(t) interp1([0, t_f/30, t_f/10, t_f/5, 0.8*t_f, 0.9*t_f, ...
53     t_f],[q_cost, q_cost, q_cost, q_cost, q_cost, q_cost, q_cost],...
54     t,'pchip'); %Velovict  angolare di rollio in rad/s
55 r=@(t) 0*(t); %Velocit  angolare di imbardata in rad/s
56
57 % Possiamo risolvere il secondo membro della 1.6
58 dQuatdt = @(t,Q) 0.5.*[0,-p(t),-q(t),-r(t);
59     p(t), 0, r(t),-q(t);
60     q(t),-r(t), 0, p(t);
61     r(t), q(t),-p(t), 0]*Q;
62
63 %Opzioni di tolleranza numerica
64 options=odeset('RelTol',1e-9,'AbsTol',1e-9);
65 %Equazione ode45
66 [vtime, vquat] = ode45(dQuatdt, [0 t_f], Q_0, options);
67
68 %% Funzione che restituisce dal quaternione le velocit  angolari
69 [vpsir,vthetar,vphir]=quat2angle(vquat); %Quaternione angoli in rad
70 vpsi=convang(vpsir,'rad','deg'); %Converto gli angoli in deg
71 vtheta=convang(vthetar,'rad','deg');
72 vphi=convang(vphir,'rad','deg');
73
74 %% Traslazione del baricentro
75 % al Tempo t=0 in m/s
76 u0=convvel(250.0, 'Km/h','m/s');
77 v0=convvel(0.0, 'Km/h','m/s');
78 w0=convvel(0.0, 'Km/h','m/s');
79
80 V0=sqrt(u0*u0+v0*v0+w0*w0); %modulo della velocit
81
82 u=@(t)interp1([0, t_f/30, t_f/10, t_f/5, 0.8*t_f,t_f],...
83     [u0, u0, u0, u0,u0, u0],...
84     t,'pchip');
85 v=@(t) 0*(t);
86 w=@(t) 0*(t);
87
88
89 %% Integrazione delle equazioni della Navigazione noto il quaternione
90 Quate = @(t) ... %Sto integrando le componenti del Quaternione nel tempo
91 [interp1(vtime,vquat(:,1),t), ...
92 interp1(vtime,vquat(:,2),t), ...
93 interp1(vtime,vquat(:,3),t), ...
94 interp1(vtime,vquat(:,4),t)];

```

```
95 T_BE = @(Q)quat2dcm(Q); % Matrice di trasformazione da Earth to body axes
96
97 % RHS equazioni della navigazione (Eq3.25)
98 dPosEdt = @(t,PosE) transpose(quat2dcm(Quate(t)))*[u(t);v(t);w(t)];
99
100 %% Soluzioni delle equazioni della navigazione
101 options = odeset('RelTol',1e-9,'AbsTol',1e-9*ones(3,1));
102 [vtime, vPosE] = ode45(dPosEdt, vtime, PosE0, options);
103 N = length(vPosE);
104 vXe = vPosE(:,1); vYe = vPosE(:,2); vZe = z_0 + vPosE(:,3);
```

Nelle Figure 1.4 e 1.5 sono rappresentati i risultati della simulazione.

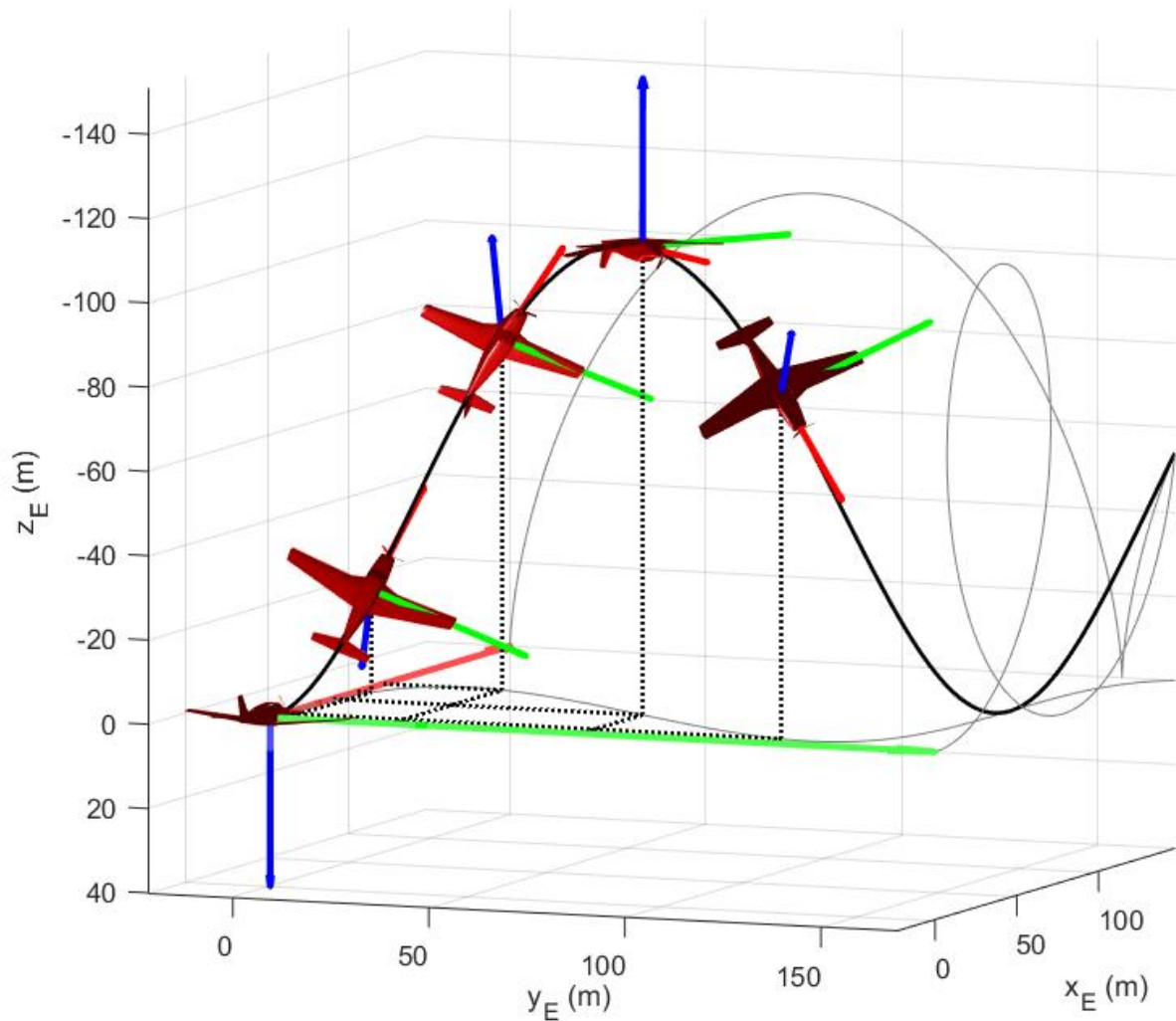


Figura 1.4 Rappresentazione della manovra di *tonneau*.

1.4 Cuban eight

Il *Cuban eight* è una manovra acrobatica che si compone in due fasi, ciascuna delle quali consiste in un looping seguito da un half tonneau e che riportano il velivolo nella condizione di volo iniziale. La traiettoria così descritta è un otto e teoricamente è contenuta tutta in un piano verticale.

1.4.1 Codice di calcolo

Di seguito è riportato il codice di calcolo per la riproduzione della manovra di *Cuban eight*.

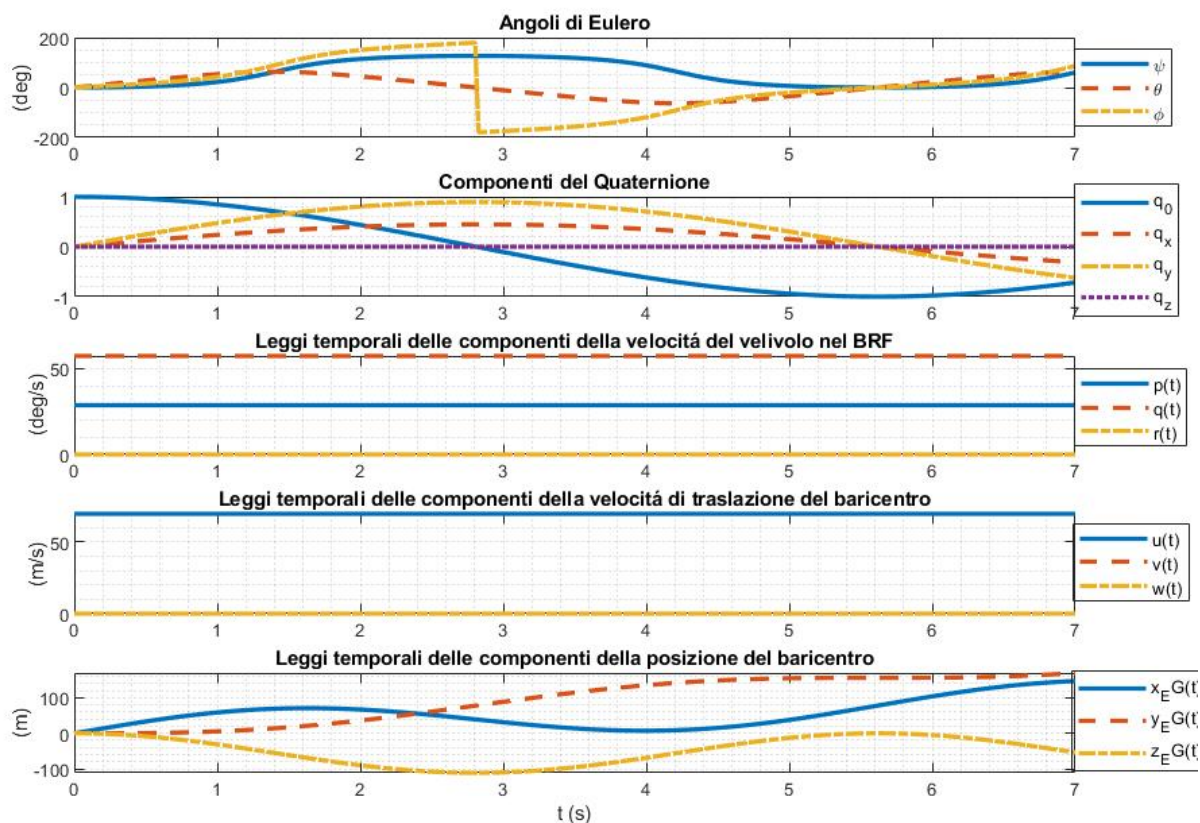


Figura 1.5 Leggi temporali del velivolo relative a una manovra di *tonneau*.

Per l'implementazione dello script si sono assunte le seguenti leggi di variazione temporale delle componenti di velocità lineare in assi corpo:

$u(t) = u_0 = 250 \text{ km/h}$, $v(t) = w(t) = 0 \text{ km/h}$, mentre le leggi temporali delle componenti di velocità angolare in assi corpo sono state definite per tentativi.

Listing 1.3

```

1 clear all
2 close all
3 clc
4
5 %% CINEMATICA DELL'EVOLUZIONE DI CUBAN EIGHT IN MATLAB
6
7 %% Condizioni iniziali
8 % Supponiamo un velivolo inizialmente in volo livellato, con fusoliera
9 % orizzontale e prua diretta verso il nord
10
11 % Per applicare la 1.6, ci occorrono gli angoli di Eulero da mettere
12 % nella
13 % 3.61 [Quaderno 3] per ottenere il vettore {q0 qx qy qz}'
14
15 % Angoli di Eulero in deg
16 psi_0 = 0;      %[deg]
17 teta_0 = 0;     %[deg]
18 phi_0 = 0;      %[deg]

```

```

18
19 % Conversione in rad
20 psi_0=convang(psi_0,'deg','rad');
21 teta_0=convang(teta_0,'deg','rad');
22 phi_0=convang(phi_0,'deg','rad');
23
24 % Attraverso l'utilizzo della funzione angle2quat    possibile ottenere
    le
25 % componenti del quaternione {q0 qX qY qZ}'
26 Q_0=angle2quat(psi_0, teta_0, phi_0)
27
28 % Posizione iniziale negli assi
29 x_0=0;
30 y_0=0;
31 z_0=0;
32 PosE0=[x_0,y_0,z_0];
33
34 % Tempo di simulazione [t_0, t_f]
35 t_0=0;
36 t_f=14;
37 tt=linspace(t_0,t_f,1e3);
38
39 %% Quaternione
40 % Ora per applicare la 1.6 mi occorre conoscere le componenti
41 % della velocit  angolare nel tempo {p (t), q(t), r(t)},
42 % dipendenti dal tempo in quanto il sistema evolve
43
44
45 p_cost=1.278; %valori in rad/s
46 q_cost=1.305;
47 r_cost=0;
48
49 tp_1 = 3.29 ;   tp_2 = 5.95 ;   dtp12 = tp_2-tp_1; tp_3 = 9.28; tp_4 =
    12.0;
50 v_time_p = [0,   tp_1,   tp_1+ntp12/30, tp_1+ntp12/10, tp_1+0.8*ntp12,
    tp_1+0.9*ntp12, tp_2, tp_3, tp_3+ntp12/30, tp_3+ntp12/10,   tp_3+0.9*
    ntp12 , tp_4, t_f ];
51 v_pt      = [0,      0 ,      p_cost*3/4,      p_cost,      p_cost,
    p_cost,      0      0      p_cost*3/4,      p_cost,
    p_cost      0      0];
52 p = @(t) interp1(v_time_p,v_pt,t,'pchip' ) ;           % velocit
    angolare di rollio in rad/s
53
54 tq_1 = 2*pi ;   tq_2 = 6.2;   tq_3 = 12.39;
55 v_time_q = [0,   tq_1/30,   tq_1/10,      tq_1/5, tp_1, tp_1+ntp12/30,tp_1
    +0.76*ntp12, tp_1+0.81*ntp12,      tq_2+tp_1/25, tq_2+tp_1/20,   tp_3 ,
    tp_3+ntp12/30, 11.43 ,      tq_3,      tq_3+ntp12/20,   12.54, t_f];
56 v_qt      = [0,   q_cost/40,   q_cost*3/4,      q_cost,   q_cost,      0
    ,      0,      q_cost/40,      q_cost*3/4,      q_cost,
    q_cost,      0,      0 ,      0.7*q_cost,      0.6*
    q_cost,      0      0];
57 q = @(t) interp1(v_time_q,v_qt,t,'pchip' );           % velocit  angolare
    di beccheggio in rad/s
58
59 r = @(t) 0*sign(exp(t)) ;           % velocit  angolare di imbardata in
    rad/s

```

```

60
61 r = @(t) ...
62     interp1( ...
63         [0 t_f/30 t_f/10 t_f/5 0.8*t_f 0.9*t_f t_f], ...
64         [0 r_cost/40 r_cost*3/4 r_cost r_cost 0 0], ...
65         t, 'pchip' ...
66     );
67 % Possiamo risolvere il secondo membro della 1.6
68 dQuatdt = @(t,Q) 0.5.*[0,-p(t),-q(t),-r(t);
69 p(t), 0, r(t),-q(t);
70 q(t),-r(t), 0, p(t);
71 r(t), q(t),-p(t), 0]*Q;
72
73 %Opzioni di tolleranza numerica
74 options=odeset('RelTol',1e-9,'AbsTol',1e-9);
75 %Equazione ode45
76 [vtime, vquat] = ode45(dQuatdt, [0 t_f], Q_0, options);
77
78 %% Funzione che restituisce dal quaternione le velocit angolari
79 [vpsir,vthetar,vphir]=quat2angle(vquat); %Quaternione angoli in rad
80 vpsi=convang(vpsir,'rad','deg'); %Converto gli angoli in deg
81 vtheta=convang(vthetar,'rad','deg');
82 vphi=convang(vphir,'rad','deg');
83
84 %% Traslazione del baricentro
85 % al Tempo t=0 in m/s
86 u0 = 250/3.6 ; v0 = 0 ; w0 = 0 ; % componenti di velocit all'
87     istante 0 in m/s
88 V0 = sqrt(u0*u0+v0*v0+w0*w0); % modulo della velocit che
89     supponiamo costante durante la manovra
90 u = @(x) u0*sign(exp(x)) ;
91 %u = @(x) interp1( [ti t_f/30 t_f/10 t_f/5 0.4*t_f tp_3+0.9*ntp12
92     0.96*t_f t_f],...
93     [u0 u0*0.95 u0*0.9 u0*0.85 u0*0.85 u0*0.9 0.95*u0 u0
94     ], x, 'pchip');
95 v = @(x) 0.*sign(exp(x)) ;
96 w = @(x) 0.*sign(exp(x)) ;
97
98 %% Integrazione delle equazioni della Navigazione noto il quaternione
99 Quate = @(t) ... %Sto integrando le componenti del Quaternione nel tempo
100 [interp1(vtime,vquat(:,1),t), ...
101 interp1(vtime,vquat(:,2),t), ...
102 interp1(vtime,vquat(:,3),t), ...
103 interp1(vtime,vquat(:,4),t)];
104 T_BE = @(Q)quat2dcm(Q); % Matrice di trasformazione da Earth to body axes
105
106 % RHS equazioni della navigazione (Eq3.25)
107 dPosEdt = @(t,PosE) transpose(quat2dcm(Quate(t)))*[u(t);v(t);w(t)];
108
109 %% Soluzioni delle equazioni della navigazione
110 options = odeset('RelTol',1e-9,'AbsTol',1e-9*ones(3,1));
111 [vtime, vPosE] = ode45(dPosEdt, vtime, PosE0, options);
112 N = length(vPosE);
113 vXe = vPosE(:,1); vYe = vPosE(:,2); vZe = z_0 + vPosE(:,3);

```

Nelle Figure 1.6 e 1.5 sono rappresentati i risultati della simulazione.

Dalla Figura 1.5, dalle leggi temporali delle componenti della velocità del velivolo nel BRF, si evincono le due fasi successive della manovra. Ognuna ha inizio con un aumento della velocità angolare di beccheggio da un valore inizialmente nullo fino al valore q_{max} mantenuto per circa i 3/4 del loop corrispondente in assenza di rollio, dunque si assegna un decremento della velocità di beccheggio da q_{max} a 0 e una contemporanea accelerazione di rollio che porta $r(t)$ da 0 al valore r_{max} mantenuto fino alla successiva richiamata. Si noti che nella fase terminale si ha una accelerazione angolare di beccheggio che porta la $q(t)$ ad un valore pari a circa $0.7 q_{max}$ e un'immediata decelerazione che riporta la velocità di rotazione a 0, di modo che il velivolo disponga nuovamente l'asse longitudinale in direzione orizzontale. Nella manovra realizzata si è supposto per semplicità che la velocità del velivolo rimanesse in modulo costante.

Si osservi, inoltre, che non è possibile avere contemporaneamente una rotazione di rollio e di beccheggio, perchè, data la costanza delle componenti di velocità in assi body, questa risulterebbe in un tonneau.

Dalle leggi temporali delle componenti della posizione del baricentro, si nota che, poichè l'evoluzione ha luogo in un piano verticale, lo spostamento in direzione dell'asse y_E e la corrispondente componente di velocità sono nulle nel corso di tutta la manovra.

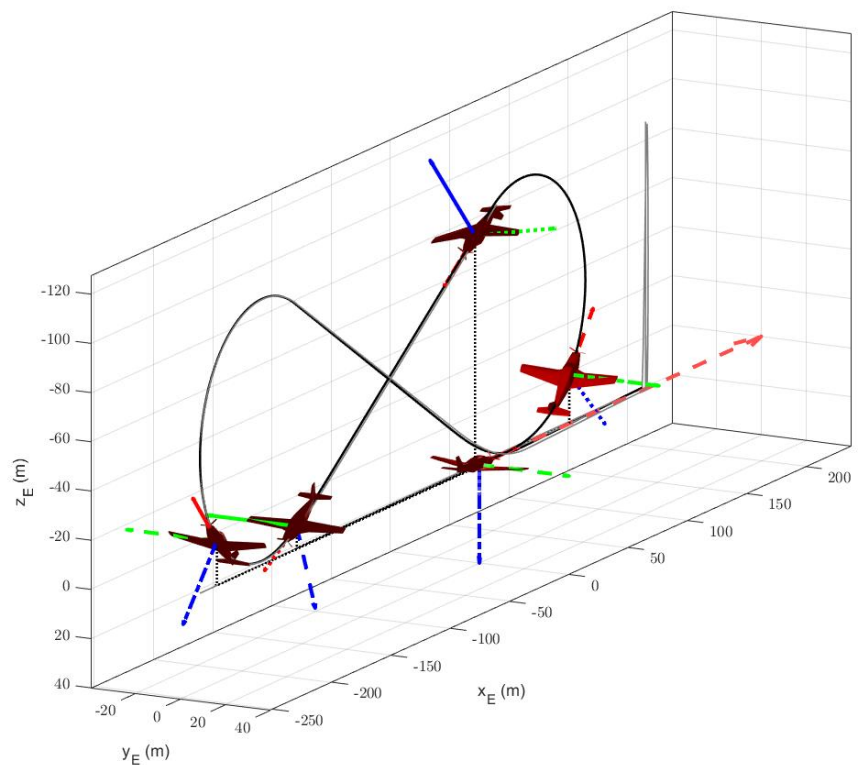


Figura 1.6 Rappresentazione della manovra di *Cuban eight*.

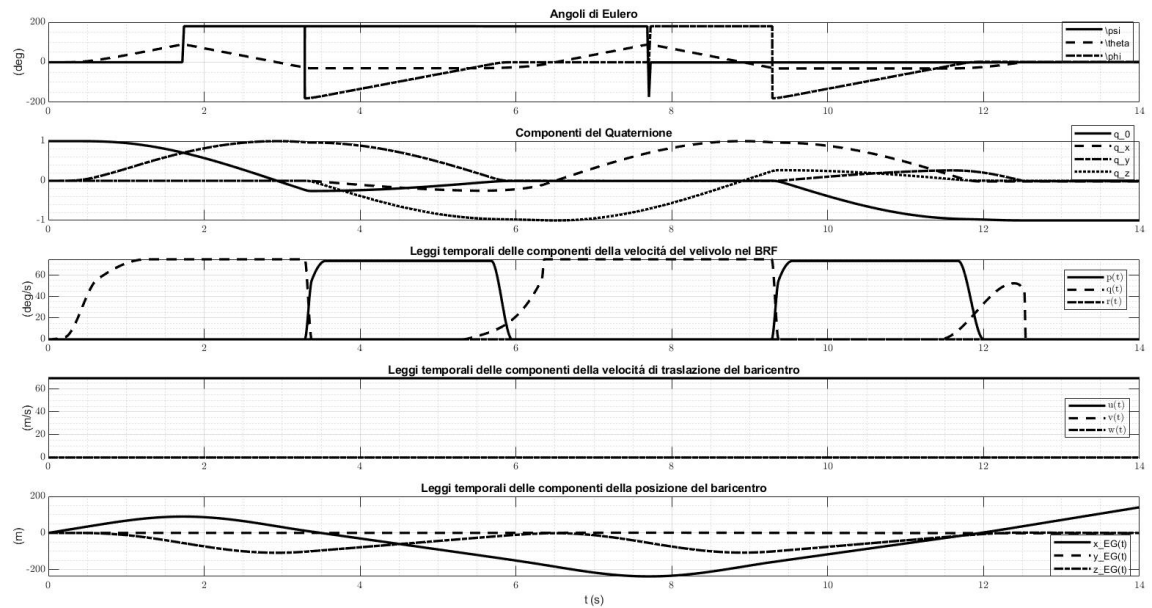


Figura 1.7 Leggi temporali del velivolo relative a una manovra di *Cuban eight*.

1.5 Manovre acrobatiche con SIMULINK

Si propone di riprodurre l'analisi cinematica delle manovre acrobatiche realizzando un modello di simulazione in ambiente SIMULINK. Adottando una parametrizzazione basata sulle componenti del quaternione dell'orientamento, è stato realizzato un modello automatizzato valido per ogni manovra, attraverso script MATLAB di assegnazione degli input.

Si riporta la rappresentazione del suddetto modello per la sola manovra di Looping ed i rispettivi risultati.

Nel listato 1.4 è mostrato lo script MATLAB di assegnazione degli input al modello SIMULINK per la simulazione della cinematica della manovra esaminata.

Listing 1.4

```

1  clc;clear all; close all;
2  %% CINEMATICA DELL'EVOLUZIONE DI LOOPING PERFETTO IN SIMULINK
3
4  %% Condizioni iniziali
5  % Supponiamo un velivolo inizialmente in volo livellato, con fusoliera
6  % orizzontale e prua diretta verso il nord
7
8  % Angoli di Eulero in deg
9  psi0=0; theta0=0; phi0=0;
10
11 % Posizione iniziale negli assi
12 xe0=0; ye0=0; ze0=0;
13
14 qman= 1;

```



```

15 u0= 100;
16 v0=0;
17 w0=0;
18
19 % Attraverso l'utilizzo della funzione angle2quat    possibile ottenere
    le
20 % componenti del quaternion {q0 qX qY qZ}'
21 Q0= angle2quat(psi0,theta0,phi0);
22
23 % Tempo di simulazione
24 t0=0; tfin= 12;
25 tinm=0.2*tfin;
26 tdurm=min(2*pi/qman,0.95*tfin)+0.85;% durata nominale
27
28 %% p q r a partire da valori puntuali
29 vtimeprofilep = [0 1]*tdurm;
30 vprofilep = [0 0];
31 vtimeprofileq = [0 tinm+(tdurm)*[0 1/30 1/10 1/5 0.7 0.87 0.93
    0.95 0.99 1] tfin];
32 vprofileq = [0 qman*[0 1/4 3/4 1 1 1 0.85 0.7
    0.01 0] 0];
33 vtimeprofiler = [0 1]*tdurm;
34 vprofiler = [0 0];
35 %% u v w a partire da valori puntuali
36
37 vtimeprofileu = tfin*[0 1/30 1/10 1/5 0.4 0.95 0.97 1];
38 vprofileu = u0*[1 .96 .93 .9 .9 .9 .9 .9];
39 vtimeprofilev =[0 1]*tdurm;
40 vprofilev =[1 1];
41 vtimeprofilew =[0 1]*tdurm;
42 vprofilew =[1 1];

```

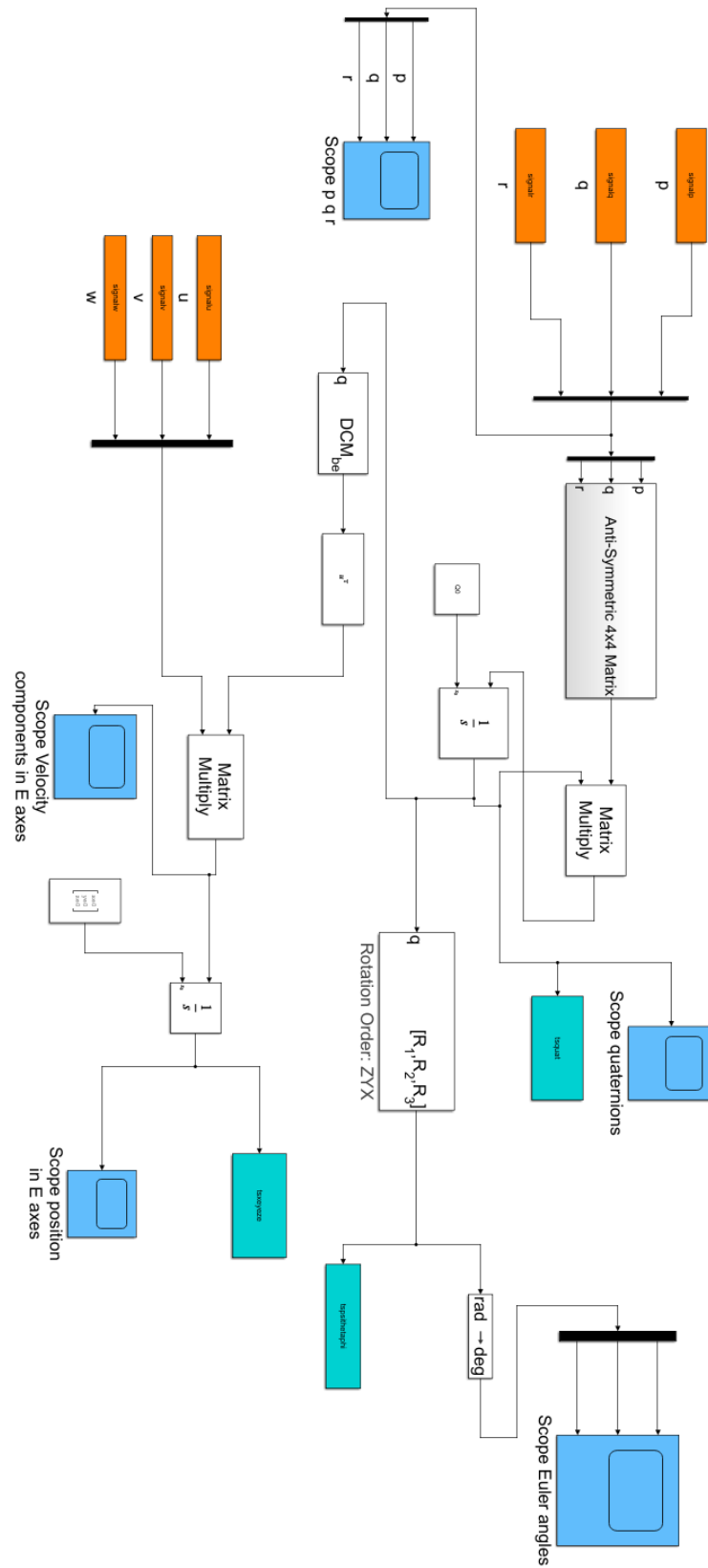


Figura 1.8 Modello SIMULINK per la simulazione della manovra di loop.



Figura 1.9 Storie temporali delle componenti del quaternione.

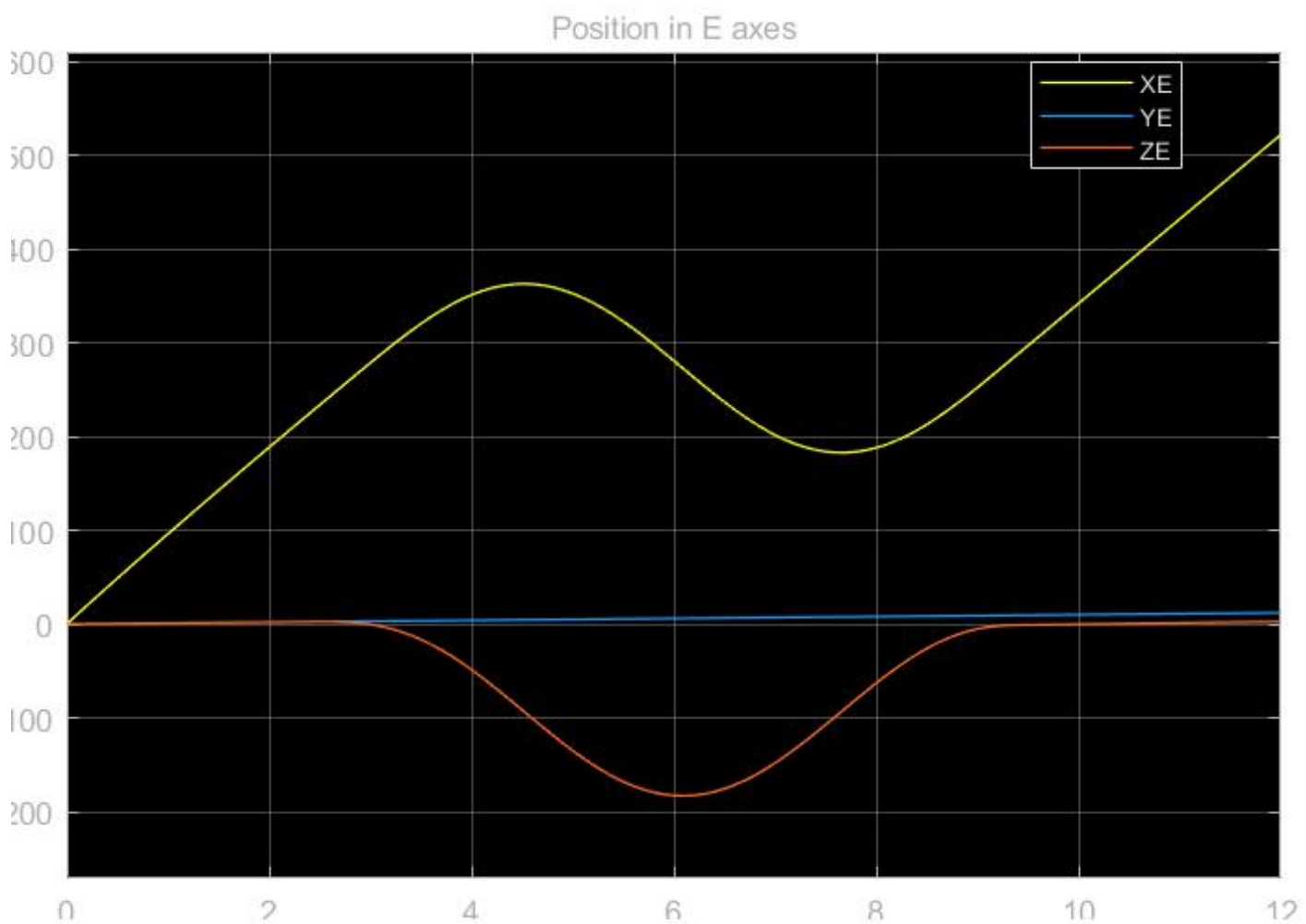


Figura 1.10 Storie temporali delle coordinate del baricentro del velivolo.

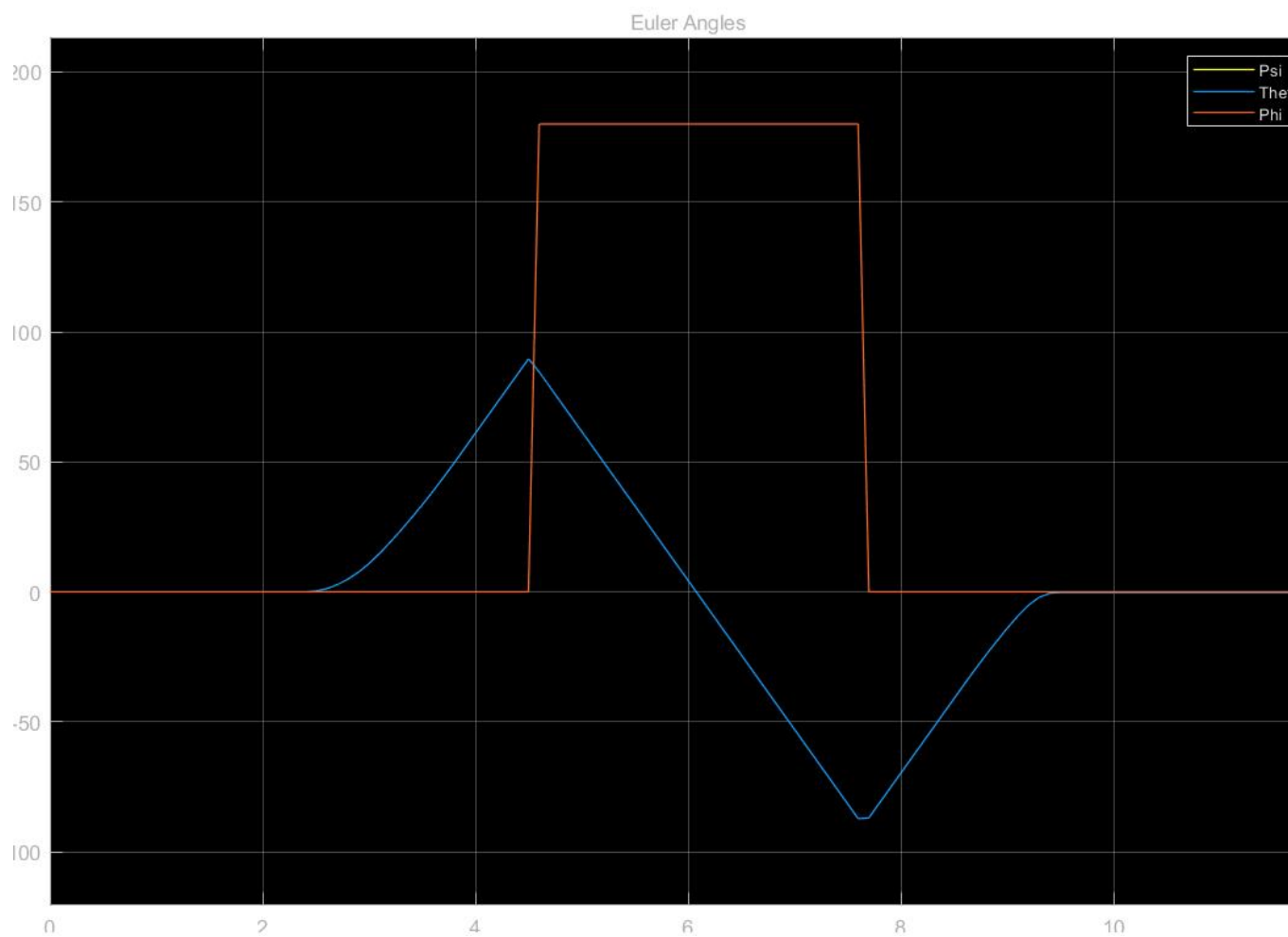


Figura 1.11 Storie temporali degli angoli di Eulero.

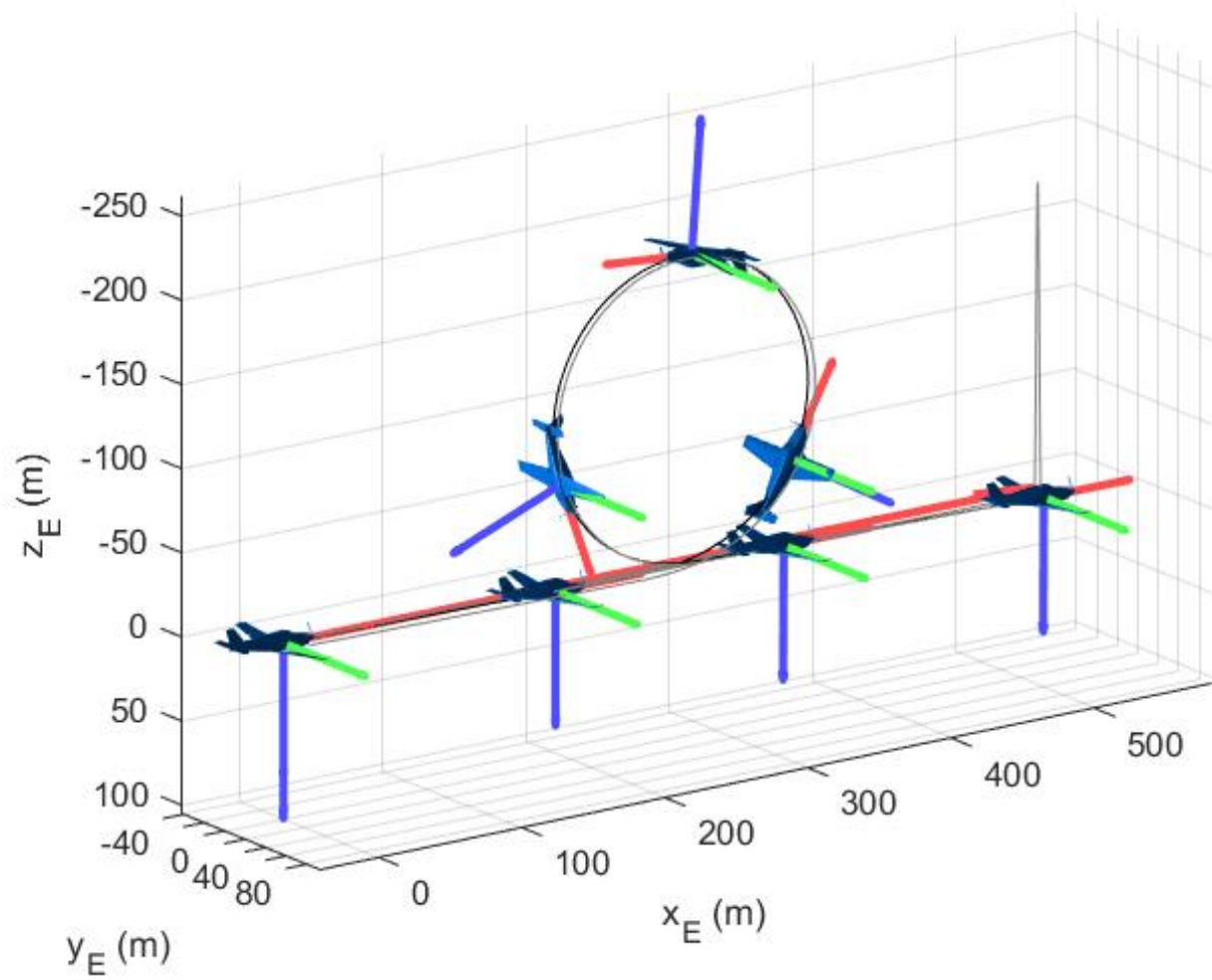


Figura 1.12 Evoluzione della manovra di Loopin.

Equazioni del moto longitudinal-simmetrico

Contents

2.1	Introduzione	31
2.2	Esercizio 7.6 - Matlab	33
2.3	Esercizio 7.7 - Matlab	36
2.4	Esercizio 7.7 - Simulink	39
2.5	Esercizio 7.9 - Matlab	43

2.1 Introduzione

In questa esercitazione è rappresentato il moto longitudinal-simmetrico a comandi bloccati di un velivolo rigido.

Nell'ipotesi di comandi bloccati, i carichi esterni agenti sulle superfici di governo vengono contrastati da forze interne derivanti dall'azione esercitata dal pilota sui comandi di volo, ovvero attraverso momenti di cerniera sulle superfici di governo, detti momenti di cerniera di comando, i quali contrastano i momenti aerodinamici, dovuti all'interazione con la corrente, in modo da mantenere la superficie stessa in una desiderata posizione angolare.

Risulta quindi che il volo di un'aeromobile, supposto rigido ed a comandi bloccati, è caratterizzato da sei gradi di libertà.

L'ipotesi di moto longitudinal-simmetrico riduce ulteriormente il numero di gradi di libertà da sei a tre, in quanto in questo caso si suppone il velivolo simmetrico rispetto al piano longitudinale e la sua evoluzione contenuta interamente in tale piano ($\phi(t) = 0, \psi(t) = 0$). Si parla allora di moto a tre gradi di libertà (3-Degrees-of-Freedom

Motion).

Questo metodo matematico si basa sul seguente sistema di equazioni differenziali ordinarie:

$$\dot{V} = g \left\{ \frac{T}{W} \cos(\alpha - \mu_x + \mu_T) - \sin(\theta + \mu_x - \alpha) - \frac{\rho V^2}{2 \frac{W}{S}} \left[C_{D_0} + k(C_{L_\alpha} \alpha + C_{L_{\delta_e}} \delta_e + C_{L_{\delta_s}} \delta_s)^m \right] \right\} \quad (2.1)$$

$$\dot{\alpha} = \frac{1}{1 + \frac{\bar{c}/b}{4\mu} C_{L_\alpha}} \left[q \left(1 - \frac{\bar{c}/b}{4\mu} C_{L_q} \right) - \frac{T}{W} \frac{g}{V} \sin(\alpha - \mu_x + \mu_T) + \frac{g}{V} \cos(\theta + \mu_x - \alpha) - \frac{\rho V^2}{2 \frac{W}{S}} \frac{g}{V} (C_{L_\alpha} \alpha + C_{L_{\delta_e}} \delta_e + C_{L_{\delta_s}} \delta_s) \right] \quad (2.2)$$

$$\dot{q} = \frac{V^2 \bar{c}/b}{k_y^2 2\mu} \left[C_{M,T} + C_{M_0} + C_{M_\alpha} \alpha + C_{M_{\delta_e}} \delta_e + C_{M_{\delta_s}} \delta_s + \frac{\bar{c}}{2V} (C_{M\dot{\alpha}} \dot{\alpha} + C_{M_q} q) \right] \quad (2.3)$$

$$\dot{x}_{E,G} = V \cos(\theta + \mu_x - \alpha) \quad (2.4)$$

$$\dot{y}_{E,G} = -V \sin(\theta + \mu_x - \alpha) \quad (2.5)$$

$$\dot{\theta} = q \quad (2.6)$$

Il precedente sistema composto da 6 equazioni può essere scritto in forma matriciale per essere implementato in Matlab.

$$\begin{bmatrix} 1 & 0 & 0 & 0 & 0 & 0 \\ 0 & 1 & 0 & 0 & 0 & 0 \\ 0 & M_{32} & 1 & 0 & 0 & 0 \\ 0 & 0 & 0 & 1 & 0 & 0 \\ 0 & 0 & 0 & 0 & 1 & 0 \\ 0 & 0 & 0 & 0 & 0 & 1 \end{bmatrix} \begin{bmatrix} \dot{V} \\ \dot{\alpha} \\ \dot{q} \\ \dot{x}_{E,G} \\ \dot{y}_{E,G} \\ \dot{\theta} \end{bmatrix} = \begin{bmatrix} f_1(V, \alpha, z_{E,G}, \theta, \delta_e, \delta_s) \\ f_2(V, \alpha, z_{E,G}, \theta, \delta_e, \delta_s) \\ f_3(V, \alpha, z_{E,G}, \delta_e, \delta_s) \\ f_4(V, \alpha, \theta) \\ f_5(V, \alpha, \theta) \\ f_6(q) \end{bmatrix} \quad (2.7)$$

con:

$$M_{32} = -\frac{1}{4\mu} \frac{\bar{c}^2}{k_y^2} C_{M\dot{\alpha}} \frac{V}{b} \quad (2.8)$$

Con una serie di manipolazioni algebriche le equazioni del moto longitudinale-simmetrico assumono la forma seguente:

$$\begin{bmatrix} \dot{V} \\ \dot{\alpha} \\ \dot{q} \\ \dot{x}_{E,G} \\ \dot{y}_{E,G} \\ \dot{\theta} \end{bmatrix} = \begin{bmatrix} f_1 \\ f_2 \\ -M_{32}f_2 + f_3 \\ f_4 \\ f_5 \\ f_6 \end{bmatrix} \quad (2.9)$$

dove le f_i (con $i = 1, \dots, 6$) sono i secondi membri delle equazioni (2.1 – 6).

Infine, per cercare le condizioni di trim desiderate si può osservare che equivale a cercare il minimo della funzione scalare.

$$J(V_0, \alpha_{B,0}, z_{B,0}, \theta_0, \delta_{e,0}, \delta_{s,0}, \delta_{T,0}) = f_1^2 + f_2^2 + f_3^2 \quad (2.10)$$

The function (2.10) è nota come funzione di costo e generalmente dipende da variabili di stato sia dinamiche che cinematiche e dalle impostazioni di controllo.

Quando J viene minimizzato in base ai limiti della variabile di controllo e ai vincoli della traiettoria di volo, viene verificato il trim.

2.2 Esercizio 7.6 - Matlab

Si implementa un codice di calcolo affinché si ottengano condizioni di *trim* per un fissato valore dell'angolo $\delta_s = 0$ deg.

Si riportano i valori di equilibrio $\alpha_0, \delta_e, \delta_t$, per quota fissata ($h_0 = 4000$ m), al variare del parametro V_0 .

Listing 2.1

```

1 %% Ricerca di condizioni di trim per un moto a 3-DoG al variare della
2 % velocit iniziale
3 % HP. delta_s0 = 0
4 clear all; close all; clc;
5
6 disp('Moto del velivolo a 3 gradi di libert ');
7 disp('Risoluzione del problema di trim ad una data altitudine e velocit
   di volo');
8
9 %% Dichiarazione delle variabili globali
10 global g... %Accelerazione di gravit
11 zEG_0 V0 q0 gamma0 ... %Condizioni iniziali
12 rho0 ... %Densit dell'aria all'altitudine h = (-
   zEG_0)
13 myAC %Oggetto 'Velivolo'
14
15 %% Ricerca delle condizioni di trim
16 aircraftDataFileName = 'DSV_Aircraft_data.txt';
17
18 %Definizione dell'oggetto 'Velivolo'
19 myAC = DSVACraft(aircraftDataFileName);
20
21 if (myAC.err == -1)
22     disp('Terminazione.')
23 else
24     disp(['File ',aircraftDataFileName,' letto correttamente.']);
25
26     % Costanti e condizioni iniziali
27     g = 9.81; %Accelerazione di gravit [m/s^2]
28     xEG_0 = 0; %[m]
29     zEG_0 = -4000; %Altitudine [m]

```

```

30  q0 = convangvel(0.000,'deg/s','rad/s'); %Velocit  angolare di
    beccaggio
31  gamma0 = convang(0.000,'deg','rad');    %Angolo di rampa [rad]
32  [air_Temp0,sound_speed0,air_pressure0,rho0] = atmosisa(-zEG_0);
33  NVel = 20;
34  vVel0 = linspace(220.0,350.0,NVel);      %Velocit  di volo [m/s]
35
36  %% Processo di minimizzazione della funzione di costo
37  % Valore di tentativo iniziale per il design vector
38  x0 = [0;      %Valore di tentativo iniziale per alpha_0 [rad]
39        0;      %Valore di tentativo iniziale per delta_e0 [rad]
40        0;      %Valore di tentativo iniziale per delta_s0 [rad]
41        0.5]; %Valore di tentativo iniziale per delta_T0
42
43  % Limiti
44  lb = [convang(-15,'deg','rad'),... %Valore minimo per alpha
45        convang(-20,'deg','rad'),... %Valore minimo per delta_e
46        convang(-5,'deg','rad'),...  %Valore minimo per delta_s
47        0.2];                        %Valore minimo per delta_T
48  ub = [convang(15,'deg','rad'),...  %Valore massimo per alpha
49        convang(13,'deg','rad'),...  %Valore massimo per delta_e
50        convang(5,'deg','rad'),...   %Valore massimo per delta_s
51        1.0];                        %Valore massimo per delta_T
52
53  % Opzioni di ricerca del minimo
54  options = optimset('tolfun',1e-9,'Algorithm','interior-point');
55
56  vDelta_s0 = convang([0.000,0.000],'deg','rad');
57  %Vettore dei valori di \delta_s0 per i quali si intende
58  %valutare il punto di minimo della funzione di costo
59  %al variare della velocit
60
61  %Inizializzazione dei vettori contenenti le variabili di output
62  alpha0_deg = zeros(NVel,length(vDelta_s0));
63  delta_e0_deg = zeros(NVel,length(vDelta_s0));
64  delta_s0_deg = zeros(NVel,length(vDelta_s0));
65  delta_T0 = zeros(NVel,length(vDelta_s0));
66
67  for j = 1:length(vDelta_s0)
68
69      Aeq = zeros(4);
70      Aeq(3,3) = 1;
71      beq = zeros(4,1);
72      beq(3,1) = vDelta_s0(j);
73
74      for i = 1:NVel
75
76          %Chiamata alla funzione 'fmincon'
77          [x,fval] = fmincon(@(x)
costLongEquilibriumStaticStickFixedVel(x,vVel0(i)),...
78                                x0,...
79                                [],[],Aeq,beq,...
80                                lb, ub,...
81                                @myNonLinearConstraint,...
82                                options);
83

```

```

84         alpha0_deg(i,j) = convang(x(1),'rad','deg');
85         delta_e0_deg(i,j) = convang(x(2),'rad','deg');
86         delta_s0_deg(i,j) = convang(x(3),'rad','deg');
87         delta_T0(i,j) = x(4);
88
89     end
90
91 end
92
93 %% Grafica
94 figure(1)
95 subplot 311
96 plot(vVel0,alpha0_deg(:,2),'b-o','LineWidth',1.5,'markersize',2.5);
97 hold on;
98 plot(vVel0,alpha0_deg(:,1),'b:o','LineWidth',1.5,'markersize',2.5);
99 grid on
100 xlim([vVel0(1) vVel0(end)])
101 ylim([0 3.5])
102 ylabel('$\alpha_0(deg)$','interpreter','latex','fontsize',11)
103 subplot 312
104 plot(vVel0,delta_e0_deg(:,2),'b-o','LineWidth',1.5,'markersize',2.5);
105 hold on;
106 plot(vVel0,delta_e0_deg(:,1),'b:o','LineWidth',1.5,'markersize',2.5);
107 grid on
108 xlim([vVel0(1) vVel0(end)])
109 ylim([-6 -3])
110 ylabel('$\delta_{e0}(deg)$','interpreter','latex','fontsize',11)
111 subplot 313
112 plot(vVel0,delta_T0(:,2),'b-o','LineWidth',1.5,'markersize',2.5);
113 hold on;
114 plot(vVel0,delta_T0(:,1),'b:o','LineWidth',1.5,'markersize',2.5);
115 grid on
116 xlim([vVel0(1) vVel0(end)])
117 xlabel('$V_0$ (m/s)','interpreter','latex','fontsize',11);
118 ylim([0 1])
119 ylabel('$\delta_{T0}$','interpreter','latex','fontsize',11)
120
121 end

```

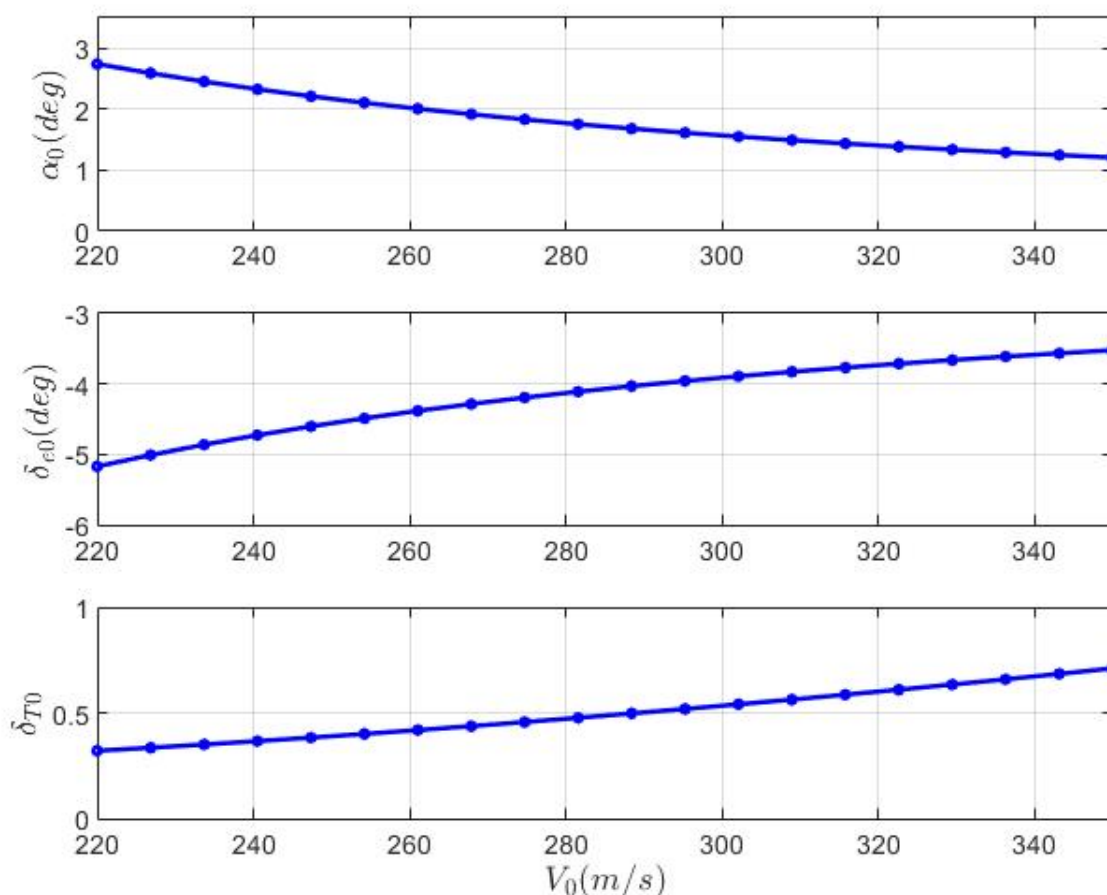


Figura 2.1 Valori di equilibrio al variare della velocità di volo iniziale per $\delta_{s,0} = 0$ deg.

2.3 Esercizio 7.7 - Matlab

Si implementa un codice di calcolo affinché si ottengano condizioni di *trim* per un fisso valore dell'angolo $\delta_s = -1$ deg.

Si riportano i valori di equilibrio α_0 , δ_e , δ_t , per quota fissata ($h_0 = 4000$ m), al variare del parametro V_0 .

Listing 2.2

```

1 %% Ricerca di condizioni di trim per un moto a 3-DoG al variare della
2 % velocit iniziale
3 % HP. delta_s0 = -1
4 clear all; close all; clc;
5
6 disp('Moto del velivolo a 3 gradi di libert ');
7 disp('Risoluzione del problema di trim ad una data altitudine e velocit
  di volo');
8
9 %% Dichiarazione delle variabili globali
10 global g... %Accelerazione di gravit
11 zEG_0 V0 q0 gamma0 ... %Condizioni iniziali

```

```

12     rho0 ...                %Densit  dell'aria all'altitudine h = (-
    zEG_0)
13     myAC                    %Oggetto 'Velivolo'
14
15 %% Ricerca delle condizioni di trim
16 aircraftDataFileName = 'DSV_Aircraft_data.txt';
17
18 %Definizione dell'oggetto 'Velivolo'
19 myAC = DSVACraft(aircraftDataFileName);
20
21 if (myAC.err == -1)
22     disp('Terminazione.')
23 else
24     disp(['File ',aircraftDataFileName,' letto correttamente.']);
25
26     % Costanti e condizioni iniziali
27     g = 9.81;                %Accelerazione di gravit  [m/s^2]
28     xEG_0 = 0;                %[m]
29     zEG_0 = -4000;            %Altitudine [m]
30     q0 = convangvel(0.000,'deg/s','rad/s'); %Velocit  angolare di
    beccheggio
31     gamma0 = convang(0.000,'deg','rad');    %Angolo di rampa [rad]
32     [air_Temp0,sound_speed0,air_pressure0,rho0] = atmosisa(-zEG_0);
33     NVel = 20;
34     vVel0 = linspace(220.0,350.0,NVel);      %Velocit  di volo [m/s]
35
36     %% Processo di minimizzazione della funzione di costo
37     % Valore di tentativo iniziale per il design vector
38     x0 = [0;                %Valore di tentativo iniziale per alpha_0 [rad]
39           0;                %Valore di tentativo iniziale per delta_e0 [rad]
40           0;                %Valore di tentativo iniziale per delta_s0 [rad]
41           0.5]; %Valore di tentativo iniziale per delta_T0
42
43     % Limiti
44     lb = [convang(-15,'deg','rad'),... %Valore minimo per alpha
45           convang(-20,'deg','rad'),... %Valore minimo per delta_e
46           convang(-5,'deg','rad'),...  %Valore minimo per delta_s
47           0.2];                        %Valore minimo per delta_T
48     ub = [convang(15,'deg','rad'),...  %Valore massimo per alpha
49           convang(13,'deg','rad'),...  %Valore massimo per delta_e
50           convang(5,'deg','rad'),...   %Valore massimo per delta_s
51           1.0];                        %Valore massimo per delta_T
52
53     % Opzioni di ricerca del minimo
54     options = optimset('tolfun',1e-9,'Algorithm','interior-point');
55
56     vDelta_s0 = convang([0.000,-1.000],'deg','rad');
57     %Vettore dei valori di \delta_s0 per i quali si intende
58     %valutare il punto di minimo della funzione di costo
59     %al variare della velocit
60
61     %Inizializzazione dei vettori contenenti le variabili di output
62     alpha0_deg = zeros(NVel,length(vDelta_s0));
63     delta_e0_deg = zeros(NVel,length(vDelta_s0));
64     delta_s0_deg = zeros(NVel,length(vDelta_s0));
65     delta_T0 = zeros(NVel,length(vDelta_s0));

```

```

66
67     for j = 1:length(vDelta_s0)
68
69         Aeq = zeros(4);
70         Aeq(3,3) = 1;
71         beq = zeros(4,1);
72         beq(3,1) = vDelta_s0(j);
73
74         for i = 1:NVel
75
76             %Chiamata alla funzione 'fmincon'
77             [x,fval] = fmincon(@(x)
costLongEquilibriumStaticStickFixedVel(x,vVel0(i)),...
78                                     x0,...
79                                     [],[],Aeq,beq,...
80                                     lb, ub,...
81                                     @myNonLinearConstraint,...
82                                     options);
83
84             alpha0_deg(i,j) = convang(x(1),'rad','deg');
85             delta_e0_deg(i,j) = convang(x(2),'rad','deg');
86             delta_s0_deg(i,j) = convang(x(3),'rad','deg');
87             delta_T0(i,j) = x(4);
88
89         end
90
91     end
92
93
94 end

```

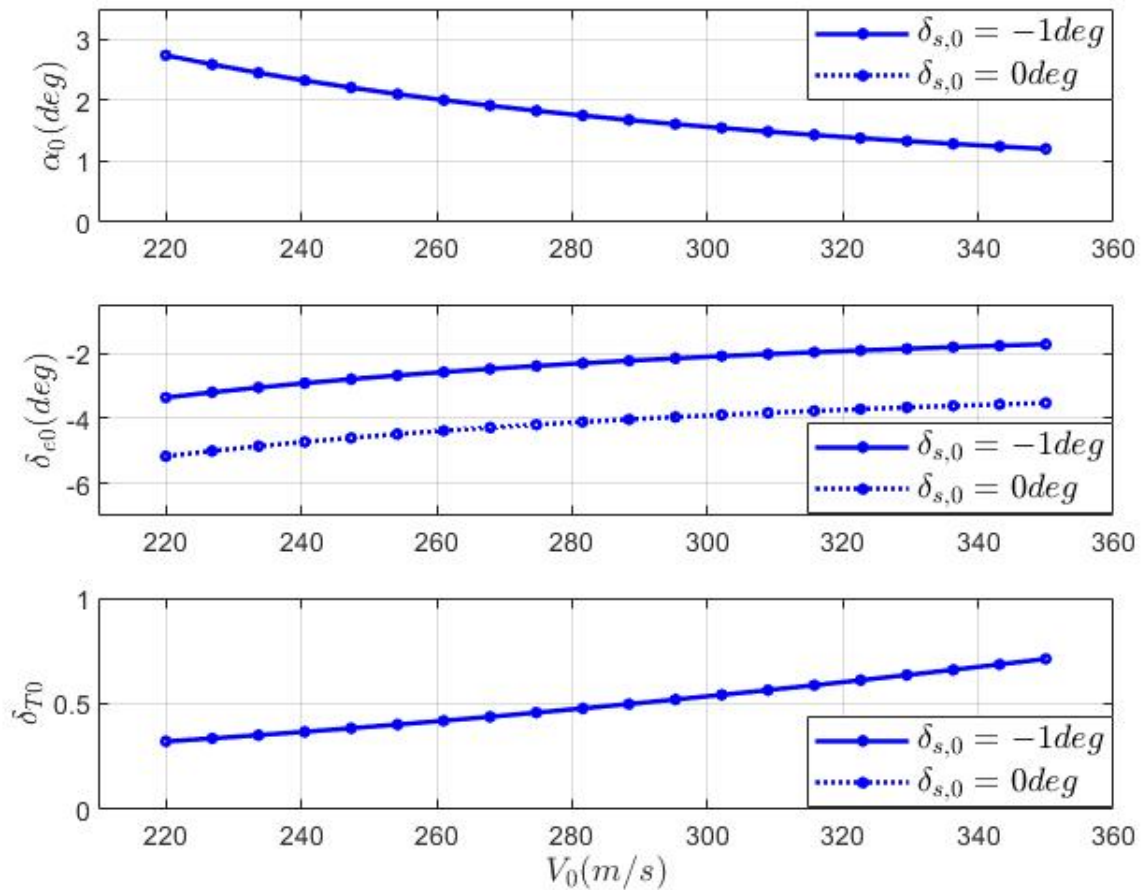


Figura 2.2 Valori di equilibrio al variare della velocità di volo iniziale per $\delta_{s,0} = -1deg$.

2.4 Esercizio 7.7 - Simulink

Si implementa l'esercizio precedente avvalendosi di Simulink.

Facendo riferimento al codice Matlab riportato di seguito, è possibile inizializzare i dati geometrici e aerodinamici del velivolo in questione.

Listing 2.3

```

1 %% Simulazione del moto a 3-DOF a partire da condizioni di trim
2 clear all; close all; clc;
3
4 disp('Moto del velivolo a 3 gradi di libert ');
5 disp('Risoluzione del problema di trim ad una data altitudine e velocit
   di volo');
6
7 %% Dichiarazione delle variabili globali
8 global g... %Accelerazione di gravit
9 zEG_0 V0 q0 gamma0... %Condizioni iniziali
10 rho0 ... %Densit dell'aria all'altitudine h = (-
   zEG_0)
11 myAC %Oggetto 'Velivolo'
12
13 %% Ricerca delle condizioni di trim

```

```

14 aircraftDataFileName = 'DSV_Aircraft_data.txt';
15
16 % Definizione dell'oggetto 'Velivolo'
17 myAC = DSV_Aircraft(aircraftDataFileName);
18
19 if (myAC.err == -1)
20     disp('Terminazione.')
21 else
22     disp(['File ', aircraftDataFileName, ' letto correttamente.']);
23 end
24
25 % Costanti e condizioni iniziali
26 g = 9.81; %Accelerazione di gravit [m/s
    ^2]
27 xEG_0 = 0; %[m]
28 zEG_0 = -4000; %Altitudine [m]
29 V0 = 320.0; %Velocit di volo [m/s];
30 %V=[240,260,280,300,320,340]; CAMBIARE VELOCITA' OGNI VOLTA
31 q0 = convangvel(0.000, 'deg/s', 'rad/s'); %Velocit angolare di beccheggio
32 gamma0 = convang(0.000, 'deg', 'rad'); %Angolo di rampa
33 [air_Temp0, sound_speed0, air_pressure0, rho0] = atmosisa(-zEG_0);
34
35 %% SIMULINK
36
37 % Si ricavano le condizioni di trim importando i dati iniziali
38 % nel modello simulink 'test_steady_state_manager7_7.slx'
39
40 % Tramite l'utilizzo dello "Steady State Manager" sono state ricavate le
41 % condizioni di trim relative a ciascun valore di velocit
    precedentemente
42 % fissati
43
44 % Nel file 'postprocess7_7.m' vengono riportati gli output per
45 % ottenere il plot dei dati

```

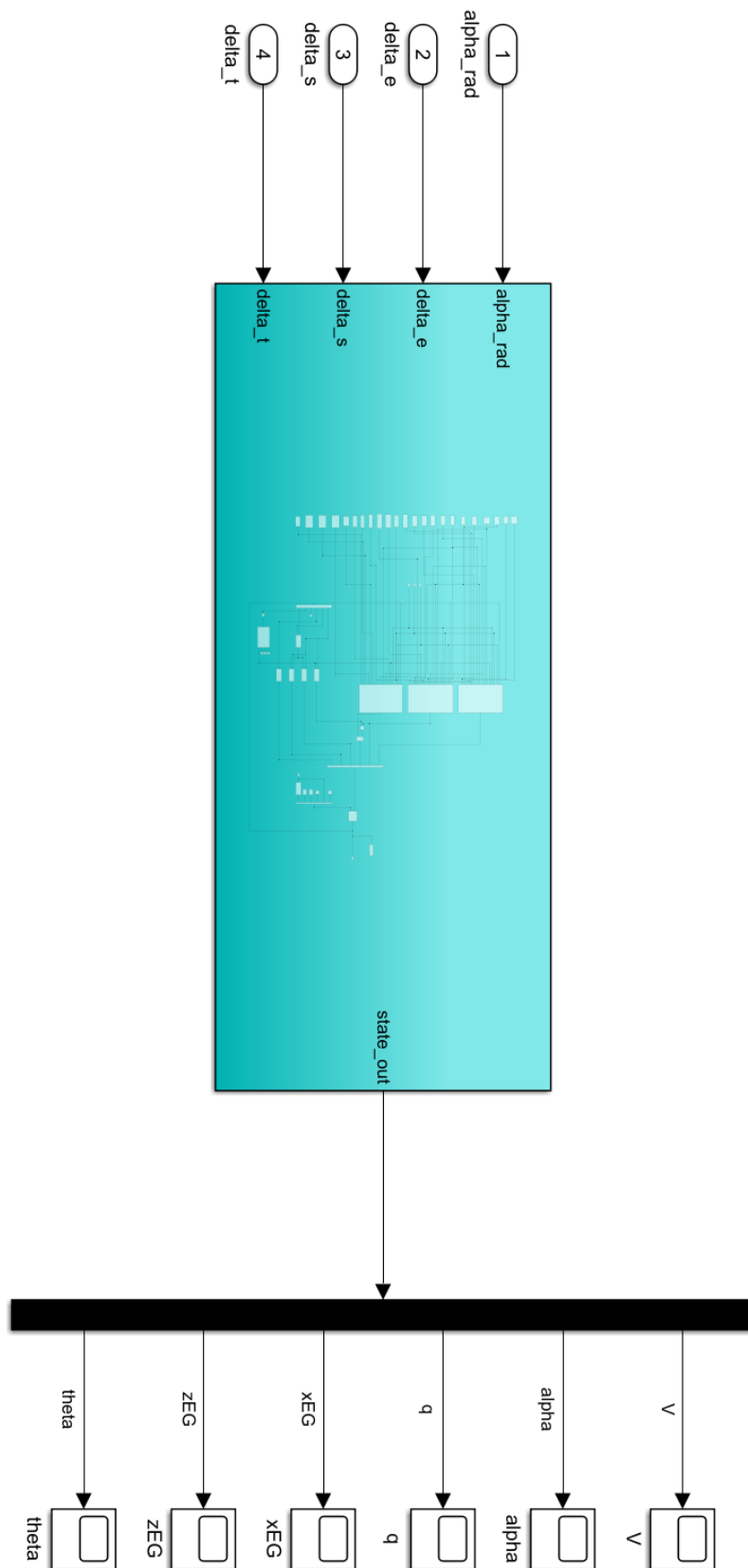



Figura 2.3 Modello Simulink del problema di trim.

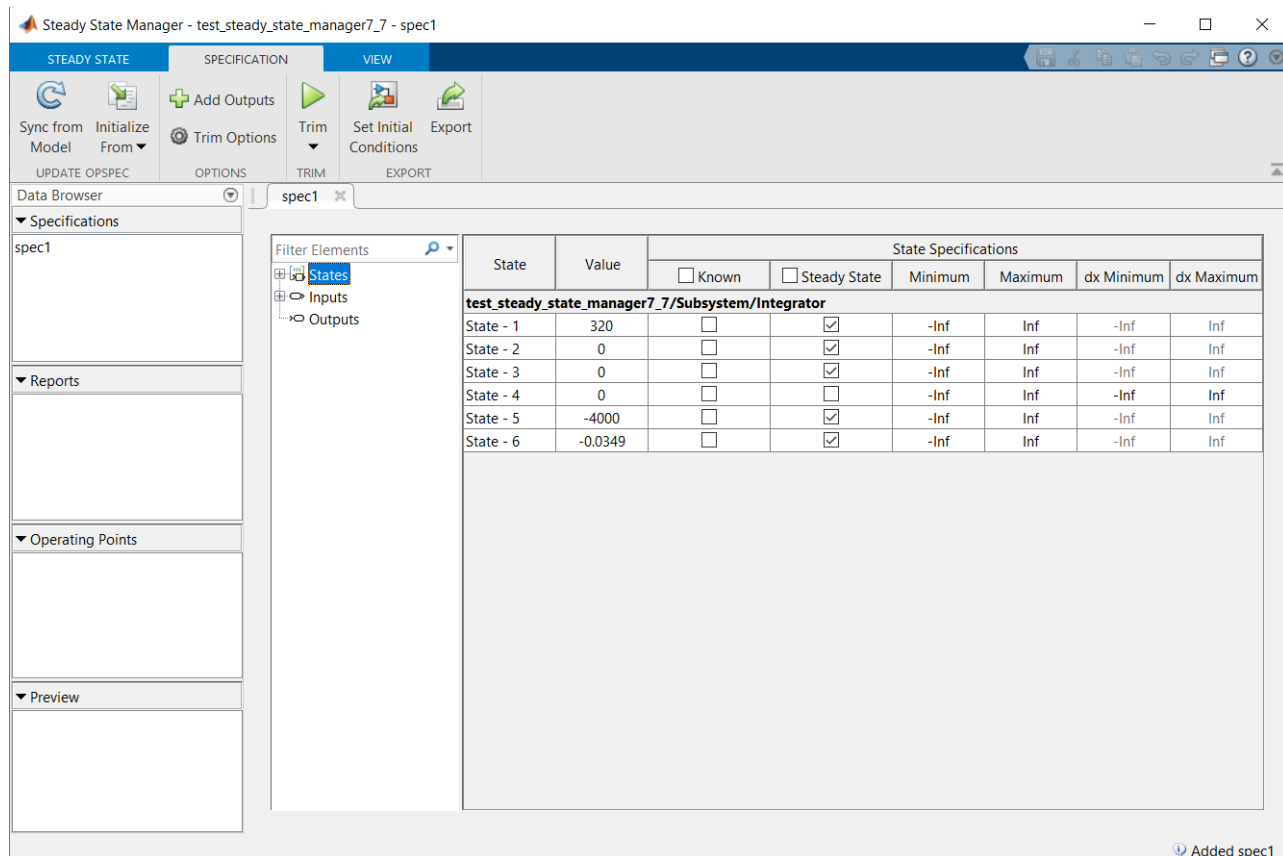


Figura 2.4 "Steady State Manager" tool - States.

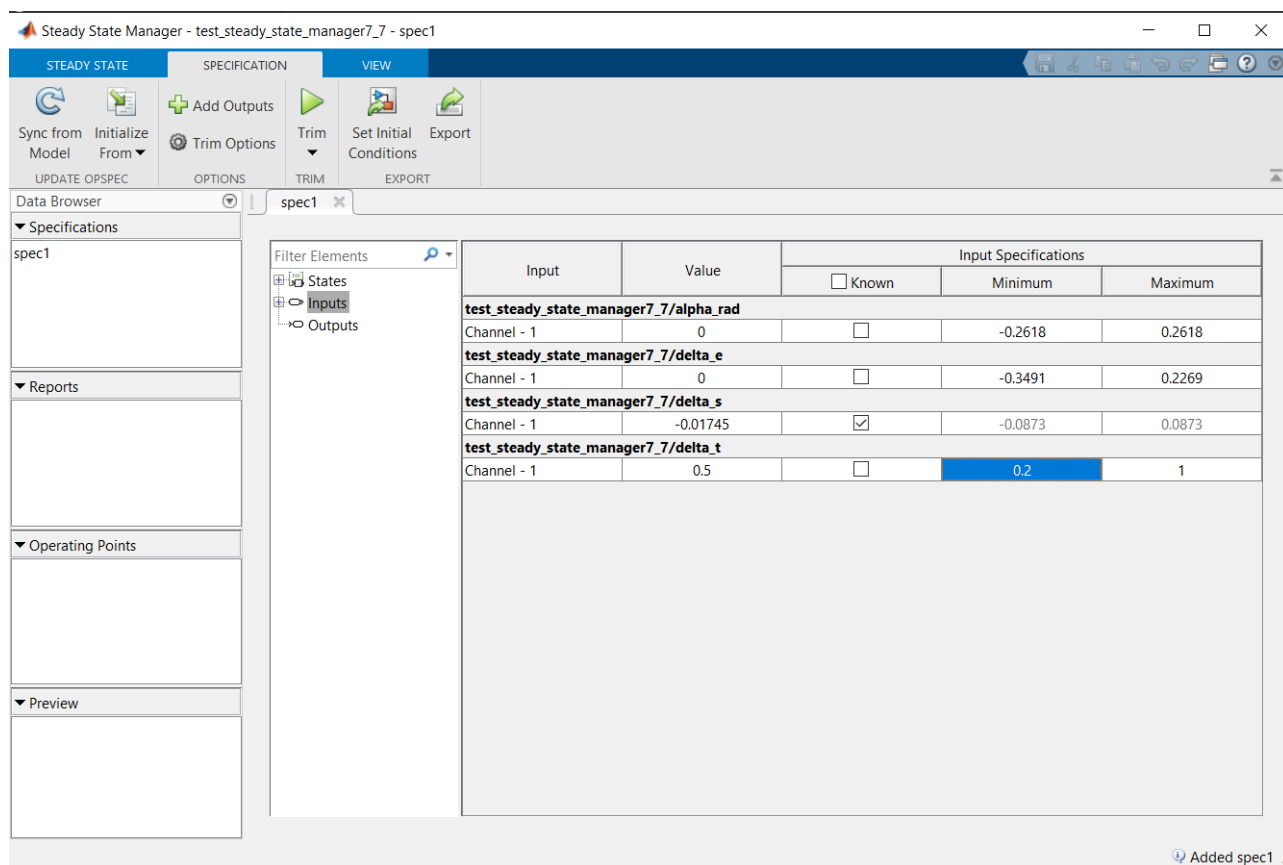


Figura 2.5 "Steady State Manager" tool - Inputs.

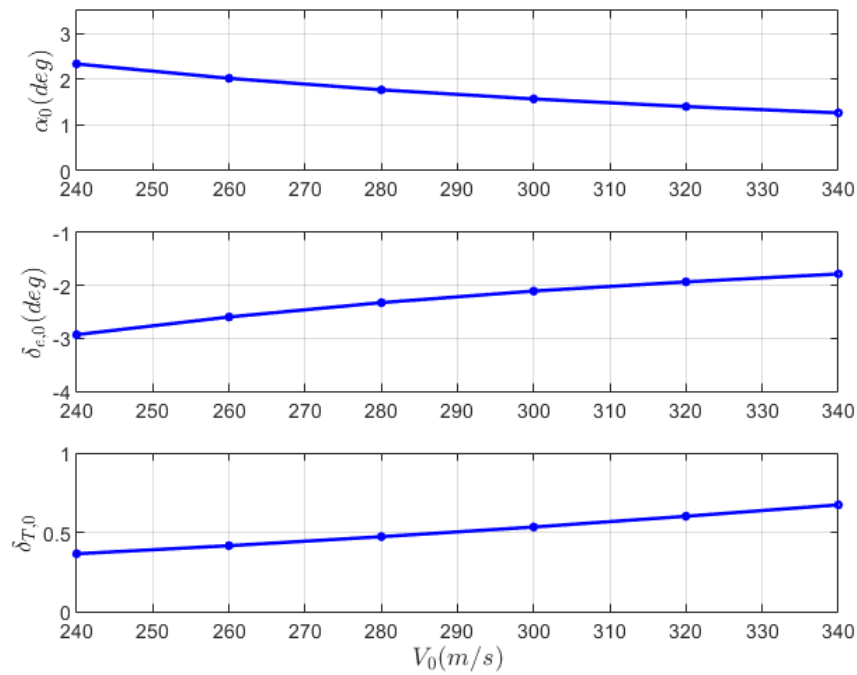


Figura 2.6 Valori di equilibrio al variare della velocità di volo iniziale per $\delta_{s,0} = -1$ deg.

2.5 Esercizio 7.9 - Matlab

Si ricavano le condizioni di *trim* per una legge di comando "*cabra-picchia*".

Listing 2.4

```

1 clear all; clc; close all;
2
3 disp('Moto del velivolo a 3-DoF');
4
5 %% Variabili globali e parametri del velivolo
6 global g ...
7     z_0 ...
8     V_0 ...
9     q_0 ...
10    gamma_0 ...
11    rho_0 ...
12    myAC ...
13    delta_e ...
14    delta_s_0 ...
15    delta_T_0
16 aircraftDataFileName = 'DSV_Aircraft_data.txt';
17
18 myAC = DSVAircraft(aircraftDataFileName);
19 if (myAC.err == -1)
20     disp(['... terminating.']);
21 else
22     disp(['File ', aircraftDataFileName, ' letto correttamente.']);
23
24     %% Condizioni iniziali e altri dati

```

```

25     z_0      = -4000.;                % altitudine
26     q_0      = 0.;                    % velocit  angolare di beccheggio
                                       (rad/s)
27     gamma_0 = convang(0,'deg','rad'); % angolo di volta (rad)
28     g = 9.81;                         % (m/s^2)
29     [air_Temp_0, sound_speed_0, air_pressure_0, rho_0] = atmosisa(-z_0);
30
31     %% Vettore di tentativo
32     %xi0=[alpha_0, delta_e_0, delta_s_0, delta_T_0]
33     xi0 = [0; 0; 0; 0.2];
34
35     %% Minimizzazione della funzione di costo
36     % Aeq, in Aeq*x=beq linear constraint
37     Aeq      = zeros(4,4);
38     beq      = zeros(4,1);
39     Aeq(3,3) = 1;
40     delta_s_0 = convang(-1,'deg','rad');
41     beq(3,1) = delta_s_0;              % fissa delta_s =
delta_s_0
42
43     % limiti inferiori per [alpha, delta_e, delta_s, delta_T]
44     lb = [convang([-15,-20,-5],'deg','rad'),0.2];
45
46     % limiti superiori per [alpha, delta_e, delta_s, delta_T]
47     ub = [convang([15,13,2],'deg','rad'),1.0];
48
49     V=270;
50     vec = zeros(length(V),4); %preallocazione
51     for i=1:length(V)
52         V_0=V(i);
53         options = optimset('tolfun',1e-9,'Algorithm','interior-point');
54         [xi,fval] = fmincon(@costLongEquilibriumStaticStickFixed, ...
55             xi0,[],[],Aeq,beq,lb,ub,@myNonLinearConstraint,options);
56
57         vec(i,:)=xi;
58     end
59
60     %%%xi0=[alpha_0, delta_e_0, delta_s_0, delta_T_0]
61
62     alpha_0      = xi(1);
63     alpha_0_deg  = convang(alpha_0,'rad','deg');
64     theta_0      = gamma_0 + alpha_0 + myAC.mu_x;
65     theta_0_deg  = convang(theta_0,'rad','deg');
66     delta_e_0    = xi(2);
67     delta_e_0_deg = convang(delta_e_0,'rad','deg');
68     delta_s_0    = xi(3);
69     delta_s_0_deg = convang(delta_s_0,'rad','deg');
70     delta_T_0    = xi(4);
71
72     disp('')
73     disp('Condizione di trim:')
74     disp(['Velocit  V_0= ',num2str(V_0),' m/s'])
75     disp(['Angolo d'attacco alpha_0= ',num2str(alpha_0_deg),' '])
76     disp(['Equilibratore delta_e_0= ',num2str(delta_e_0_deg),' '])
77     disp(['Stabilizzatore delta_s_0= ',num2str(delta_s_0_deg),' '])
78     disp(['Manetta delta_T_0= ',num2str(delta_T_0)])

```

```

79
80 %% Risoluzione delle equazioni del moto e calcolo fattori di carico (
CASO A)
81
82 t1=1; t2=2.5; t3=4; t_fin=10; D_e=convang(-3., 'deg', 'rad'); %delta_e
- delta_e_0
83
84
85 delta_e = @(t) ...
86     interp1([0,t1,t2,t3,t_fin],[delta_e_0,delta_e_0,...
87     delta_e_0+D_e,delta_e_0,delta_e_0], t, 'linear');
88
89 theta0=gamma_0 - myAC.mu_x + alpha_0;
90 y0=[V_0,alpha_0,q_0,0,z_0,theta0]; %7.76a dal Quaderno 7 /vettore di
stato_0
91
92 options=odeset('AbsTol',10^-9,'RelTol',10^-9);
93 [tspan,y]=ode45(@eqLongDynamicStickFixed,[0,t_fin],y0,options); %
Risoluzione dell'equazione
94
95 tspan_CasoA=tspan; y_CasoA=y; delta_e_CasoA=delta_e(tspan);
96
97 [~,~,~,rho]=atmosisa(-y(:,5)); %rho=rho';
98 mu_rel = (myAC.W/g)./(rho*myAC.S*myAC.b);
99 gamma=y(:,6)+myAC.mu_x-y(:,2);
100 fxA_CasoA=-(sin(gamma)+ ((delta_T_0*myAC.T/myAC.W).*cos(y(:,2) - myAC
.mu_x + myAC.mu_T) ...
101     -sin(gamma) -((rho.*y(:,1).^2)/(2*(myAC.W/myAC.S))) ...
102     *(myAC.CD_0 + myAC.K.*(myAC.CL_alpha.*y(:,2) ...
103     + myAC.CL_delta_e.*delta_e_CasoA + myAC.CL_delta_s.*delta_s_0).^
myAC.m))))); %eq (7.70)
104 F2_CasoA = (1./(1+((myAC.mac/myAC.b).*myAC.CL_alpha_dot)./(4.*mu_rel)
)).*( 1. - myAC.CL_q.*(myAC.mac/myAC.b)./(4.*mu_rel) ).*y(:,3) ...
105     -(g./y(:,1)).*(delta_T_0*myAC.T/myAC.W).*sin(y(:,2) - myAC.mu_x +
myAC.mu_T) ...
106     +(g./y(:,1)).*cos(gamma) -((rho.*y(:,1).*g)./(2.*(myAC.W/myAC.S))
) ...
107     *( myAC.CL_alpha.*y(:,2) + myAC.CL_delta_e.*delta_e_CasoA ...
108     + myAC.CL_delta_s.*delta_s_0);
    % alpha_dot
109 fZA_CasoA = cos(gamma)+y(:,1)./g.*(y(:,3)-F2_CasoA); % eq (7.71)
110
111 %% Risoluzione delle equazioni del moto e calcolo fattori di carico (
CASO B)
112
113 t1=1; t2=1.5; t3=2; t_fin=10;
114 D_e=convang(-3., 'deg', 'rad');
115
116 delta_e = @(t) ...
117     interp1([0,t1,t2,t3,t_fin],[delta_e_0,delta_e_0,...
118     delta_e_0+D_e,delta_e_0,delta_e_0], t, 'linear');
119
120 theta0=gamma_0-myAC.mu_x+alpha_0;
121 y0=[V_0,alpha_0,q_0,0,z_0,theta0];
122
123 options=odeset('AbsTol',10^-9,'RelTol',10^-9);

```

```

124 [tspan,y]=ode45(@eqLongDynamicStickFixed,[0,t_fin],y0,options);
125
126 tspan_CasoB=tspan; y_CasoB=y; delta_e_CasoB=delta_e(tspan);
127
128 [~,~,~,rho] = atmosisa(-y(:,5)); %rho=rho';
129 mu_rel = (myAC.W/g)./(rho*myAC.S*myAC.b);
130 gamma=y(:,6)+myAC.mu_x-y(:,2);
131 fxA_CasoB=-(sin(gamma)+ ((delta_T_0*myAC.T/myAC.W).*cos(y(:,2) - myAC
132 .mu_x + myAC.mu_T) ...
133 -sin(gamma) -((rho.*y(:,1).^2)/(2*(myAC.W/myAC.S))) ...
134 .*(myAC.CD_0 + myAC.K.*((myAC.CL_alpha.*y(:,2) ...
135 + myAC.CL_delta_e.*delta_e_CasoB + myAC.CL_delta_s.*delta_s_0).^
136 myAC.m)))));
137 F2_CasoB = (1./(1+((myAC.mac/myAC.b).*myAC.CL_alpha_dot)./(4.*mu_rel)
138 ).*( 1. - myAC.CL_q.*(myAC.mac/myAC.b)./(4.*mu_rel) ).*y(:,3) ...
139 -(g./y(:,1)).*(delta_T_0*myAC.T/myAC.W).*sin(y(:,2) - myAC.mu_x +
140 myAC.mu_T) ...
141 +(g./y(:,1)).*cos(gamma) -((rho.*y(:,1).*g)./(2.*(myAC.W/myAC.S))
142 ) ...
143 .*( myAC.CL_alpha.*y(:,2) + myAC.CL_delta_e.*delta_e_CasoB ...
144 + myAC.CL_delta_s.*delta_s_0);
145 fzA_CasoB = cos(gamma)+y(:,1)./g.*(y(:,3)-F2_CasoB);
146
147 end

```

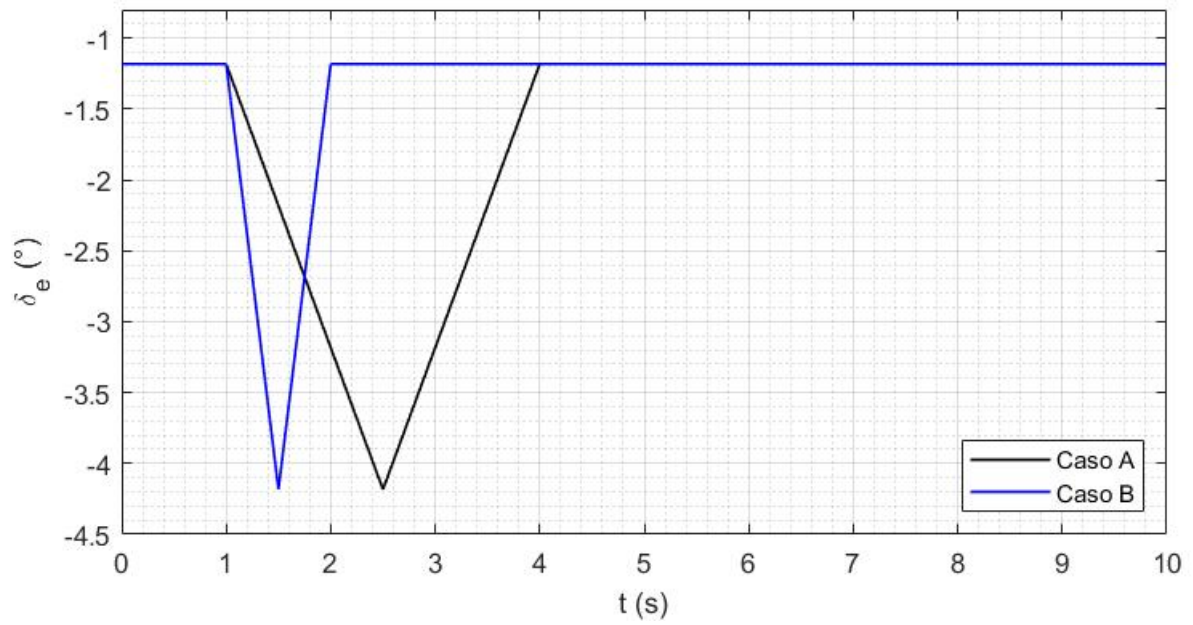


Figura 2.7 Legge di manovra dell'equilibratore "*cabra-picchia*".

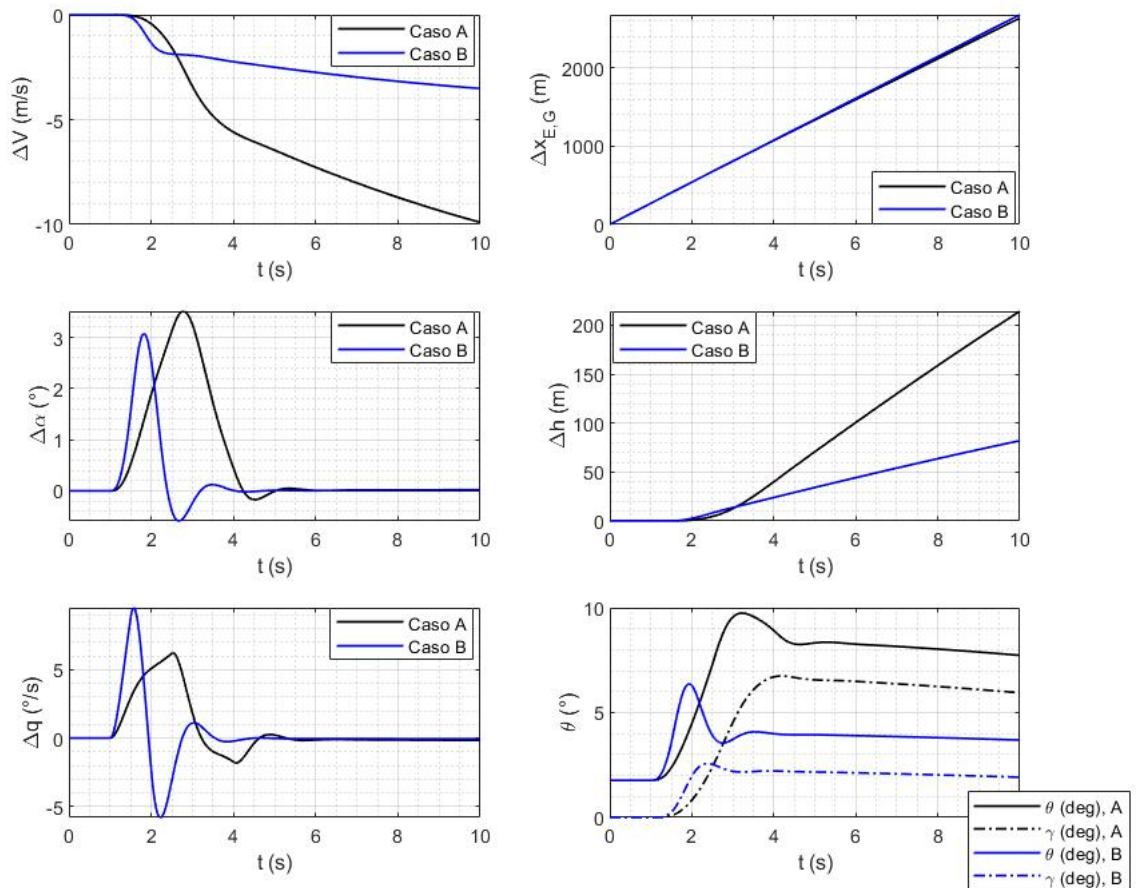


Figura 2.8 Storie temporali delle variabili di stato.

Si verifica che le variabili che mostrano oscillazioni significative nel breve periodo sono l'angolo d'attacco e la velocità angolare di beccheggio. Inoltre, si verifica che le variabili che mostrano oscillazioni significative nel lungo periodo sono la velocità, la quota e l'angolo di elevazione.

Equazioni del moto longitudinal-simmetrico a comandi liberi

Contents

3.1	Introduzione	49
3.2	Esercizio 11.2 - Matlab	50
3.3	Esercizio 11.3 - Matlab	60
3.4	Esercizio 11.4 - Matlab	66

3.1 Introduzione

Si implementa uno script del moto longitudinal-simmetrico a comandi liberi di un velivolo rigido. Nell'ipotesi di comandi liberi, il pilota non esercita alcuna azione sui comandi e le superfici di governo dell'aeromobile sono libere di ruotare nella corrente. Le variazioni di forma conseguenti a tali rotazioni tipicamente non determinano una significativa redistribuzione delle masse del velivolo, sicchè è lecito, nello studio dell'evoluzione dinamica, continuare ad utilizzare le equazioni del moto valide per corpo rigido. Tuttavia, ai sei gradi di libertà di corpo rigido del sistema velivolo si aggiungono ulteriori 3 gradi di libertà rappresentati dalle deflessioni delle superfici di controllo.

Scrivendo le equazioni della dinamica in un sistema di riferimento solidale con la superficie di governo e particolarizzandole per una superficie nel piano $x_B y_B$ si arriva all'equazione:

$$I_c \ddot{\delta}_{cs} - (\dot{p} + qr) (I_c \sin \Lambda_c - m_{cs} e_{cs} y_{B,C}) + (\dot{q} + pr) (I_c \cos \Lambda_c - m_{cs} e_{cs} x_{B,C}) + m_{cs} (a_{Gz_B} - g_{z_B}) e_e = \mathcal{H}_{A,e} \quad (3.1)$$

L'equazione opportunamente semplificata va affiancata al sistema di equazioni del moto longitudinal-simmetrico a comandi bloccati.

Per far ciò, è opportuno definire un'incognita ausiliaria $\dot{\delta}_e$ (derivata della deflessione del comando longitudinale), con lo scopo di ottenere un sistema di otto equazioni differenziali del primo ordine in altrettante incognite.

Definito il vettore di stato di otto componenti:

$$x = V, \alpha, q, x_{E,G}, \theta, \dot{\delta}_e, \delta_e \quad (3.2)$$

si perviene al sistema di equazioni:

$$\begin{bmatrix} 1 & 0 & 0 & 0 & 0 & 0 & 0 & 0 \\ 0 & 1 & 0 & 0 & 0 & 0 & 0 & 0 \\ 0 & M_{32} & 1 & 0 & 0 & 0 & 0 & M_{38} \\ 0 & 0 & 0 & 1 & 0 & 0 & 0 & 0 \\ 0 & 0 & 0 & 0 & 1 & 0 & 0 & 0 \\ 0 & 0 & 0 & 0 & 0 & 1 & 0 & 0 \\ M_{71} & M_{72} & M_{73} & 0 & 0 & M_{76} & 1 & M_{78} \\ 0 & 0 & 0 & 0 & 0 & 0 & 0 & 1 \end{bmatrix} \begin{Bmatrix} \dot{x}_1 \\ \dot{x}_2 \\ \dot{x}_3 \\ \dot{x}_4 \\ \dot{x}_5 \\ \dot{x}_6 \\ \dot{x}_7 \\ \dot{x}_8 \end{Bmatrix} = \begin{Bmatrix} f_1 \\ f_2 \\ f_3 \\ f_4 \\ f_5 \\ f_6 \\ f_7 \\ f_8 \end{Bmatrix} \quad (3.3)$$

3.2 Esercizio 11.2 - Matlab

Si sviluppa un codice di calcolo che effettui l'integrazione numerica del sistema di equazioni ???. Si assegni una condizione di volo equilibrato a quota costante, a comandi bloccati, per quota e velocità assegnate, determinando la deflessione $\delta_{e,0}$ corrispondente. Si impongano i comandi bloccati sino all'istante di tempo $t_1 = 1$ s e, supponendo $t_{fin} = 30$ s volo a comando libero, assumendo per l'intera durata della simulazione una deflessione dell'aletta tab identicamente nulla.

Procedendo con la simulazione del moto secondo le direttive prescritte, si riporta ora il codice di calcolo corrispondente.

Listing 3.1

```

1 % Condizione di volo equilibrato a quota costante, a comandi bloccati,
  per
2 % assegnate quote e velocit determinando la deflessione corrispondente
3 clear all; close all; clc;
4
5 disp('Moto del velivolo a 3 gradi di libert ');
6 disp('Risoluzione del problema di trim ad una data altitudine e velocit
  di volo');
7
8 %% Dichiarazione delle variabili globali
9 global g... %Accelerazione di gravit

```

```

10     zEG_0 V0 q0 gamma0... %Condizioni iniziali
11     rho0 ... %Densit dell'aria all'altitudine h = (-
zEG_0)
12     myAC %Oggetto 'Velivolo'
13
14 %% Definizione della classe DSVAircraft e dell'oggetto 'Velivolo'
15 aircraftDataFileName = 'DSV_Aircraft_data.txt';
16
17 %Definizione dell'oggetto 'Velivolo'
18 myAC = DSVAircraft(aircraftDataFileName);
19
20 if (myAC.err == -1)
21     disp('Terminazione.')
22 else
23     disp(['File ',aircraftDataFileName,' letto correttamente.']);
24
25     % Costanti e condizioni iniziali
26     g = 9.81; %Accelerazione di gravit espressa [m/s^2]
27     xEG_0 = 0; %[m]
28     zEG_0 = -4000; %Altitudine espressa [m]
29     V0 = 257.0; %Velocit di volo espressa [m/s];
30     q0 = convangvel(0.000,'deg/s','rad/s'); %Velocit angolare di
beccheggio
31     gamma0 = convang(0.000,'deg','rad'); %Angolo di rampa
32     [air_Temp0,sound_speed0,air_pressure0,rho0] = atmosisa(-zEG_0);
33
34 %% Processo di minimizzazione della funzione di costo
35 %Valore di tentativo iniziale per il design vector
36 x0 = [0; %Valore di tentativo iniziale per alpha0 [rad]
37     0; %Valore di tentativo iniziale per delta_e0 [rad]
38     0; %Valore di tentativo iniziale per delta_s0 [rad]
39     0.5]; %Valore di tentativo iniziale per delta_T0
40
41 %Assegnazione del vincolo a delta_s0
42 Aeq = zeros(4,4);
43 Aeq(3,3) = 1;
44 beq = zeros(4,1);
45 delta_s0 = convang(-1.500,'deg','rad');
46 beq(3,1) = delta_s0;
47
48 %Limiti
49 lb = [convang(-15,'deg','rad'),... %Valore minimo per alpha
50     convang(-20,'deg','rad'),... %Valore minimo per delta_e_0
51     convang(-5,'deg','rad'),... %Valore minimo per delta_s_0
52     0.2]; %Valore minimo per delta_T_0
53 ub = [convang(15,'deg','rad'),... %Valore massimo per alpha
54     convang(13,'deg','rad'),... %Valore massimo per delta_e_0
55     convang(5,'deg','rad'),... %Valore massimo per delta_s_0
56     1.0]; %Valore massimo per delta_T_0
57
58 %Opzioni di ricerca del minimo
59 options = optimset('tolfun',1e-9,'Algorithm','interior-point');
60
61 %Chiamata alla funzione 'fmincon'
62 [x,fval] = fmincon(@costLongEquilibriumStaticStickFixed,...
63     x0,...

```

```

64         [],[],Aeq,beq,...
65         lb,ub,...
66         @myNonLinearConstraint,...
67         options);
68
69     alpha0_rad = x(1);
70     alpha0_deg = convang(alpha0_rad,'rad','deg');
71     theta0_rad = alpha0_rad - myAC.mu_x + gamma0;
72     theta0_deg = convang(theta0_rad,'rad','deg');
73     delta_e0_rad = x(2);
74     delta_e0_deg = convang(delta_e0_rad,'rad','deg');
75     delta_s0_rad = x(3);
76     delta_s0_deg = convang(delta_s0_rad,'rad','deg');
77     delta_T0 = x(4);
78
79     disp( '')
80     disp('Condizione di trim:')
81     disp(['Velocit ' num2str(V0) ' m/s'])
82     disp(['Angolo d''attacco ' num2str(alpha0_deg) ' deg'])
83     disp(['Velocit angolare di beccheggio ' num2str(convangvel(q0,'rad/
84 s','deg/s')) ' deg/s'])
85     disp(['Angolo di deflessione dell''equilibratore ' num2str(
86 delta_e0_deg) ' deg'])
87     disp(['Angolo di deflessione dello stabilizzatore ' num2str(
88 delta_s0_deg) ' deg'])
89     disp(['Grado di ammissione della manetta ' num2str(delta_T0)])
90
91 end
92
93 %% Assegnazione delle leggi temporali dei comandi di volo
94 t_fin = 30;           %Durata dell'intera fase di volo [s]
95 t_sim_first = 1;      %Durata della prima fase di volo [s]
96
97 global delta_e...
98     delta_tab...
99     delta_s...
100     delta_T
101
102 delta_e = @(t) interp1([0,t_sim_first],[delta_e0_rad,delta_e0_rad],t,'
103     linear');
104 delta_tab = @(t) 0*t;
105 delta_s = @(t) interp1([0,t_fin],[delta_s0_rad,delta_s0_rad],t,'linear');
106 delta_T = @(t) interp1([0,t_fin],[delta_T0,delta_T0],t,'linear');
107
108 %% Prima fase di volo: volo a comandi bloccati
109 % Supposto per 0 < t < t_sim_first = 1
110 % Per cui la variazione di delta_e risulta essere nulla
111 % Integrazione delle equazioni del moto a 3-DoF
112 state0_first = [V0,alpha0_rad,q0,xEG_0,zEG_0,theta0_rad];
113
114 %Integrazione del sistema di equazioni differenziali
115 options = odeset('RelTol', 1e-9,'AbsTol', 1e-9*ones(1,6));
116 [vTime1,mState1] = ode45(@eqLongDynamicStickFixed,[0 t_sim_first],
117     state0_first,options);
118
119 mState1_dot = zeros(length(vTime1),6);

```

```

115 for i = 1:length(vTime1)
116
117     mState1_dot(i,:) = eqLongDynamicStickFixed(vTime1(i),mState1(i,:));
118
119 end
120
121 %% Seconda fase di volo: volo a comandi liberi
122 % Integrazione delle equazioni del moto a (3+1)DoF
123
124 %Il valore nullo di delta_e ricavato dalla consizione precedente
125 %costituisce una delle condizioni iniziali per la successiva fase di volo
126
127 delta_e0_dot_rad = convangvel(0,'deg/s','rad/s');
128 state0_second = [mState1(end,1),mState1(end,2),mState1(end,3),...
129                 mState1(end,4),mState1(end,5),mState1(end,6),...
130                 delta_e0_dot_rad,delta_e0_rad];
131
132 %Integrazione del sistema di equazioni differenziali
133 options = odeset('Mass',@MassStickFree,'RelTol',1e-9,'AbsTol',1e-9*ones
134                 (1,8));
135 [vTime2,mState2] = ode45(@eqLongDynamicStickFree,[t_sim_first t_fin],
136                         state0_second,options);
137
138 mState2_dot = zeros(length(vTime2),8);
139 for i = 1:length(vTime2)
140
141     M = MassStickFree(vTime2(i),mState2(i,:));
142     mState2_dot(i,:) = M\eqLongDynamicStickFree(vTime2(i),mState2(i,:));
143
144 end
145
146 %Allocazione in memoria delle storie temporali delle due fasi di volo
147 mState1 = [mState1,zeros(length(vTime1),1),delta_e0_rad*ones(length(
148     vTime1),1)];
149 mState_fin = [mState1;mState2(2:end,1:end)];
150 mState1_dot = [mState1_dot,zeros(length(vTime1),1),zeros(length(vTime1)
151     ,1)];
152 mState_fin_dot = [mState1_dot;mState2_dot(2:end,1:end)];
153 vTime_fin = [vTime1;vTime2(2:end)];

```

Valutando il codice per il moto a comandi liberi. Dovendo implementare l'equazione matriciale $\ddot{x} = M^{-1}F$, si sceglie di fornire tale matrice direttamente nell'odeset del solutore mediante la chiamata alla funzione `MassStickFree`, consentendo una più diretta risoluzione del sistema di equazioni in oggetto, anziché invertire la matrice di massa e fornire il vettore delle f_i , opportunamente codificato dalla funzione `eqLongDynamicStickFree`.

Di seguito sono riportate le funzioni citate.

Listing 3.2

```

1 function M = MassStickFree(t,x)
2
3 global g...
4     myAC

```

```

5
6 V = x(1);
7 alpha = x(2);
8 q = x(3);
9 x_EG = x(4);
10 z_EG = x(5);
11 theta = x(6);
12 delta_e_dot = x(7);
13 delta_e = x(8);
14
15 rho = density(-z_EG);
16 mu_rel = (myAC.W/g)/(rho*myAC.S*myAC.b);
17
18 M = eye(8);
19
20 M(3,2) = -(1/(4*mu_rel))*(myAC.mac^2/myAC.k_y^2)*(V/myAC.b)*myAC.
    Cm_alpha_dot;
21
22 M(3,8) = -(1/(4*mu_rel))*(myAC.mac^2/myAC.k_y^2)*(V/myAC.b)*myAC.
    Cm_delta_e_dot;
23
24 M(7,1) = (myAC.mac_e*myAC.ec_adim)/myAC.k_e^2*sin(alpha-myAC.mu_x);
25
26 M(7,2) = ((myAC.mac_e*myAC.ec_adim)/myAC.k_e^2)*V*cos(alpha-myAC.mu_x)
    -...
27     rho*V*myAC.S_e*myAC.mac_e^2/(4*myAC.I_e)*(1 - myAC.DepsDalpha)*
    myAC.Ch_e_alpha_dot;
28
29 M(7,3) = -(myAC.mac_e*myAC.ec_adim*myAC.x_C_e/myAC.k_e^2 - cos(myAC.
    Lambda_e));
30
31 M(7,6) = -(myAC.mac_e*myAC.ec_adim)/myAC.k_e^2*V*cos(alpha-myAC.mu_x);
32
33 M(7,8) = -rho*V*myAC.S_e*myAC.mac_e^2/(4*myAC.I_e)*myAC.Ch_e_delta_e_dot;
34
35 end

```

Listing 3.3

```

1 function [f] = eqLongDynamicStickFree(t,x)
2
3 global g ...
4     delta_tab...
5     delta_s...
6     delta_T...
7     myAC
8
9 V = x(1);
10 alpha = x(2);
11 q = x(3);
12 x_EG = x(4);
13 z_EG = x(5);
14 theta = x(6);
15 delta_e_dot = x(7);
16 delta_e = x(8);
17

```

```

18 rho = density(-z_EG);
19 mu_rel = (myAC.W/g)/(rho*myAC.S*myAC.b);
20 Cm_delta_tab = 0; %[1/rad]
21 %Si assume trascurabile il contributo al coefficiente di momento fornito
22 %dalla eventuale deflessione di un'aletta tab
23
24 f(1) = g*((delta_T(t)*myAC.T/myAC.W)*cos(alpha - myAC.mu_x + myAC.mu_T)
    -...
25         sin(theta + myAC.mu_x - alpha)-...
26         ((rho*V^2)/(2*(myAC.W/myAC.S)))*(myAC.CD_0+...
27         myAC.K*((myAC.CL_alpha*alpha
    +...
28         myAC.CL_delta_e*
    delta_e+...
29         myAC.CL_delta_s*
    delta_s(t))^myAC.m));
30
31 f(2) = 1/(1 + (myAC.mac/myAC.b)/(4*mu_rel)*myAC.CL_alpha_dot)*...
32         ((1 - (myAC.mac/myAC.b)/(4*mu_rel)*myAC.CL_q)*q-...
33         (delta_T(t)*myAC.T/myAC.W)*(g/V)*sin(alpha - myAC.mu_x + myAC.
    mu_T)+...
34         (g/V)*cos(theta + myAC.mu_x - alpha)-...
35         ((rho*V^2)/(2*(myAC.W/myAC.S)))*(g/V)*...
36         (myAC.CL_alpha*alpha+...
37         myAC.CL_delta_e*delta_e+...
38         myAC.CL_delta_s*delta_s(t)));
39
40 f(3) = ((V/myAC.k_y)^2*(myAC.mac/myAC.b)/(2*mu_rel))*...
41         ((myAC.Cm_T_0 + myAC.Cm_T_alpha*alpha)+...
42         myAC.Cm_0 + myAC.Cm_alpha*alpha+...
43         myAC.Cm_delta_e*delta_e+...
44         myAC.Cm_delta_s*delta_s(t)+...
45         Cm_delta_tab*delta_tab(t)+...
46         (myAC.mac/(2*V))*myAC.Cm_q*q);
47
48 f(4) = V*cos(theta + myAC.mu_x - alpha);
49
50 f(5) = -V*sin(theta + myAC.mu_x - alpha);
51
52 f(6) = q;
53
54 f(7) = ((myAC.mac_e*myAC.ec_adim)/myAC.k_e^2)*g*cos(theta)+...
55         (rho*V^2*myAC.S_e*myAC.mac_e)/(2*myAC.I_e)*...
56         (myAC.Ch_e_0 + myAC.Ch_e_alpha*((1 - myAC.DepsDalphabet)*...
57         (alpha - myAC.mu_x)-...
58         myAC.eps_0 + delta_s(t) + myAC.
    mu_x)+...
59         myAC.Ch_e_delta_e*delta_e + myAC.Ch_e_delta_s*delta_s(t)+...
60         myAC.Ch_e_delta_tab*delta_tab(t) + (myAC.mac_e/(2*V))*myAC.Ch_e_q
    *q);
61
62 f(8) = delta_e_dot ;
63
64 f = [f(1);f(2);f(3);f(4);f(5);f(6);f(7);f(8)];
65
66 end

```

Nell'istante in cui il pilota lascia il comando dell'equilibratore, esso si deflette oscillando sotto l'azione della corrente aerodinamica, assumendo, dopo un certo intervallo di tempo, una deflessione angolare pari all'angolo di "flottaggio", valore in concomitanza del quale, dato un equilibratore staticamente compensato, il momento di cerniera aerodinamico risulta essere asintoticamente nullo.

Si riportano i diagramma corrispondenti alla condizione esaminata.

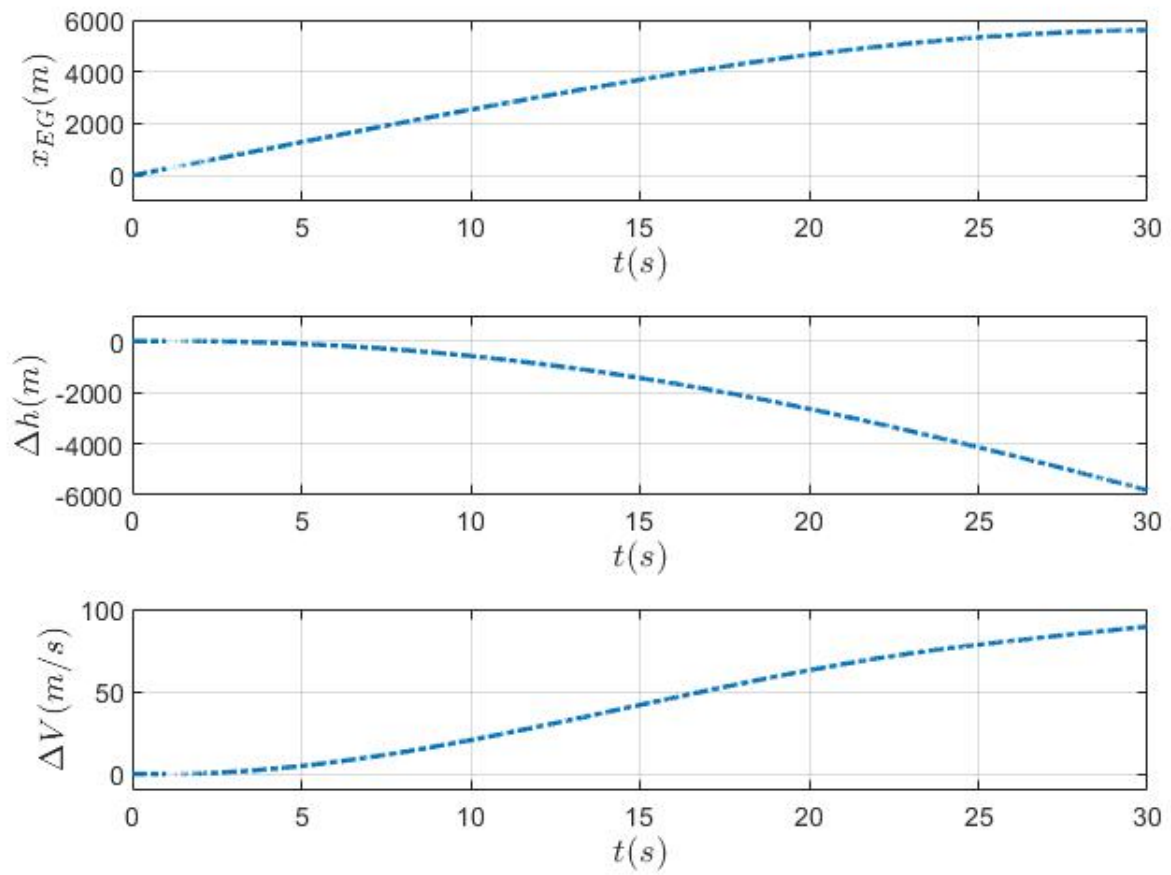


Figura 3.1 Storie temporali di alcune delle variabili di stato.

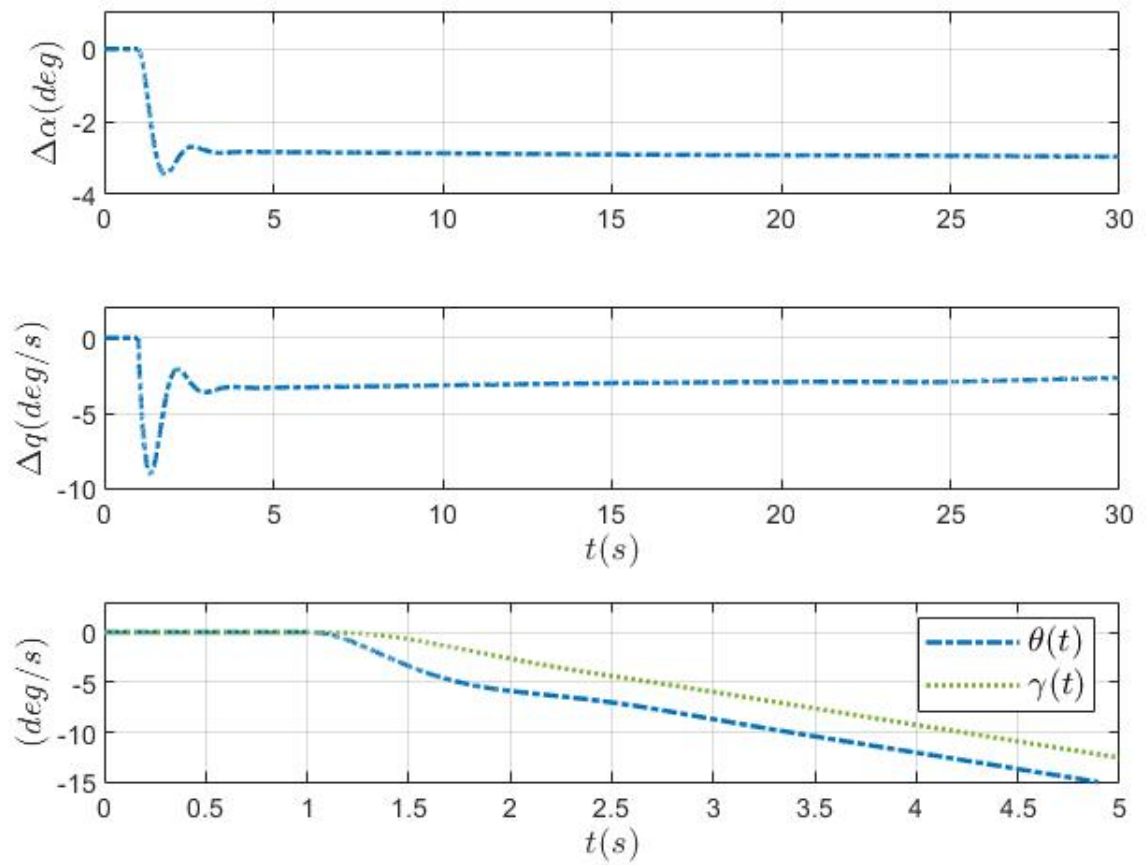


Figura 3.2 Storie temporali di alcune delle variabili di stato.

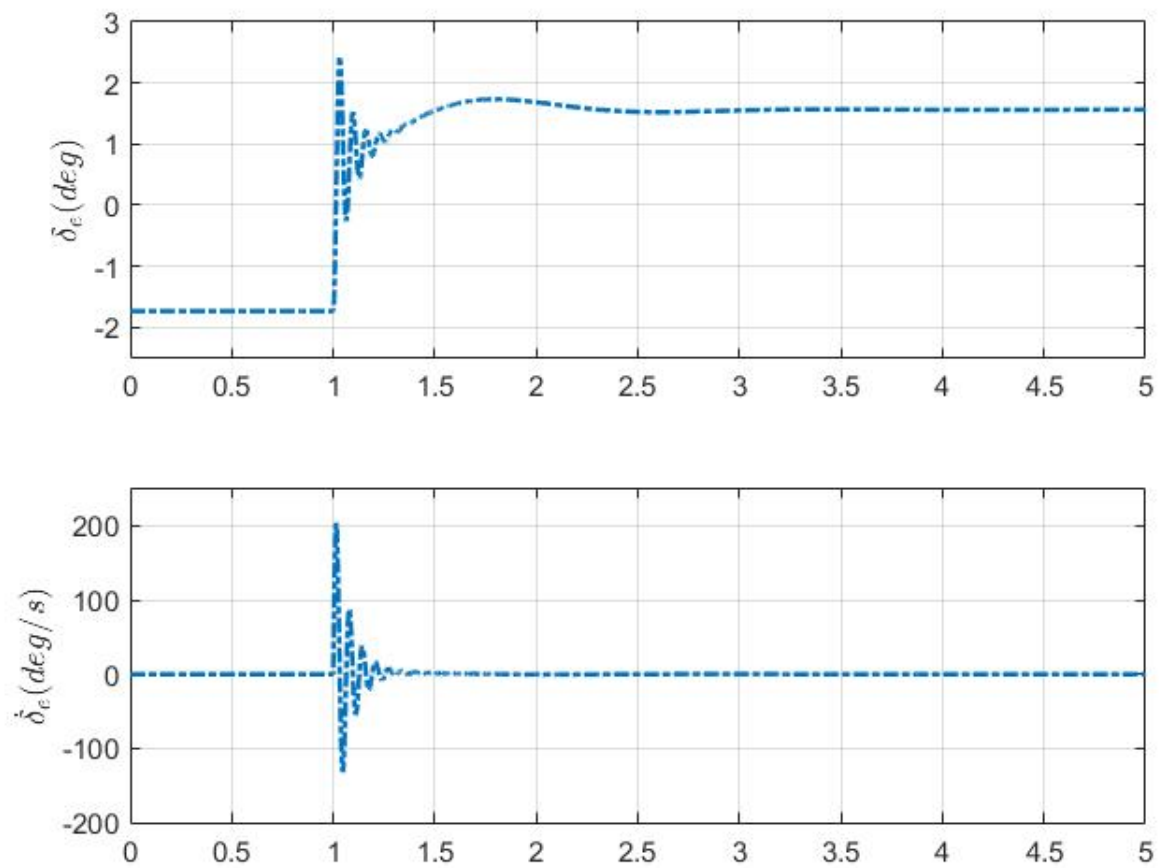


Figura 3.3 Storie temporali delle grandezze concernenti la deflessione dell'equilibratore e il momento aerodinamico di cerniera agente su di esso.

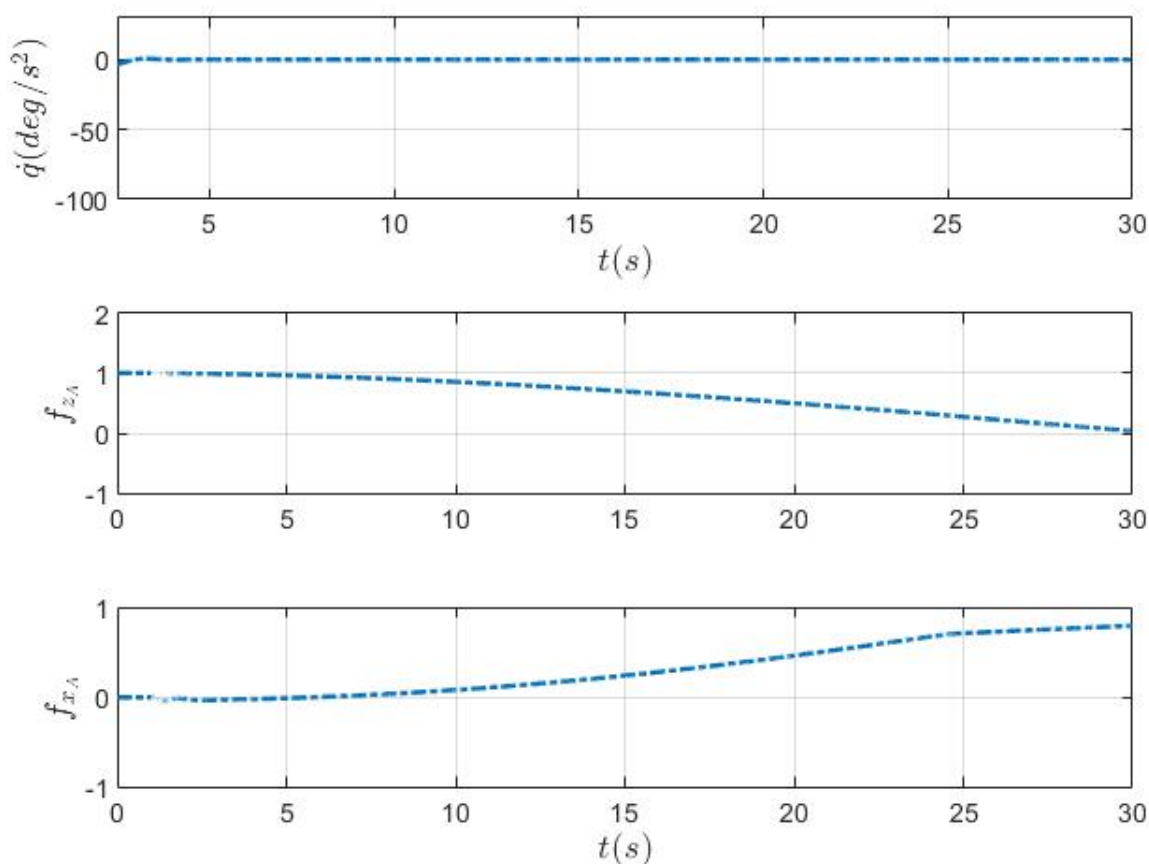


Figura 3.4 Storie temporali dell'accelerazione angolare di beccheggio e dei fattori di carico f_{xA} e f_{zA} .

3.3 Esercizio 11.3 - Matlab

Si sviluppa un codice di calcolo che effettui l'integrazione numerica del sistema di equazioni **??**. Si studi l'effetto della deflessione di un'eventuale aletta tab sull'angolo di flottaggio dell'equilibratore.

Listing 3.4

```

1 % Angolo di 'flottaggio' dell'equilibratore ed effetto del trim tab
2
3 clear all; close all; clc;
4
5 disp('Moto del velivolo a 3 gradi di libert ');
6 disp('Risoluzione del problema di trim ad una data altitudine e velocit
   di volo');
7
8 %% Dichiarazione delle variabili globali
9 global g... %Accelerazione di gravit
10 xEG_0 zEG_0 V0 q0 gamma0... %Condizioni iniziali
11 rho0 ... %Densit dell'aria all'altitudine h =
   (-zEG_0)
12 myAC %Oggetto 'Velivolo'
13

```

```

14 %% Definizione della classe DSV Aircraft e dell'oggetto 'Velivolo'
15 aircraftDataFileName = 'DSV_Aircraft_data.txt';
16
17 %Definizione dell'oggetto 'Velivolo'
18 myAC = DSV Aircraft (aircraftDataFileName);
19
20 if (myAC.err == -1)
21     disp('Terminazione.')
22 else
23     disp(['File ', aircraftDataFileName, ' letto correttamente.']);
24
25     % Costanti e condizioni iniziali
26     g = 9.81; %Accelerazione di gravit  espressa [m/s^2]
27     xEG_0 = 0; %[m]
28     zEG_0 = -4000; %Altitudine espressa [m]
29     V0 = 257.0; %Velocit  di volo espressa [m/s];
30     q0 = convangvel(0.000, 'deg/s', 'rad/s'); %Velocit  angolare di
    beccheggio [rad/s]
31     gamma0 = convang(0.000, 'deg', 'rad'); %Angolo di rampa [rad]
32     [air_Temp0, sound_speed0, air_pressure0, rho0] = atmosisa(-zEG_0);
33
34     %% Processo di minimizzazione della funzione di costo
35     %Valore di tentativo iniziale per il design vector
36     x0 = [0;          %Valore di tentativo iniziale per alpha0 [rad]
37           0;          %Valore di tentativo iniziale per delta_e0 [rad]
38           0;          %Valore di tentativo iniziale per delta_s0 [rad]
39           0.5]; %Valore di tentativo iniziale per delta_T0
40
41     %Assegnazione del vincolo a delta_s0
42     Aeq = zeros(4,4);
43     Aeq(3,3) = 1;
44     beq = zeros(4,1);
45     delta_s0 = -1.500; %[deg]
46     beq(3,1) = convang(delta_s0, 'deg', 'rad');
47
48     %Limiti
49     lb = [convang(-15, 'deg', 'rad'),... %Valore minimo per alpha
50           convang(-20, 'deg', 'rad'),... %Valore minimo per delta_e_0
51           convang(-5, 'deg', 'rad'),...  %Valore minimo per delta_s_0
52           0.2]; %Valore minimo per delta_T_0
53     ub = [convang(15, 'deg', 'rad'),...  %Valore massimo per alpha
54           convang(13, 'deg', 'rad'),...  %Valore massimo per delta_e_0
55           convang(5, 'deg', 'rad'),...   %Valore massimo per delta_s_0
56           1.0]; %Valore massimo per delta_T_0
57
58     %Opzioni di ricerca del minimo
59     options = optimset('tolfun', 1e-9, 'Algorithm', 'interior-point');
60
61     %Chiamata alla funzione 'fmincon'
62     [x,fval] = fmincon(@costLongEquilibriumStaticStickFixed,...
63                       x0,...
64                       [],[],Aeq,beq,...
65                       lb,ub,...
66                       @myNonLinearConstraint,...
67                       options);
68

```

```

69     alpha0_rad = x(1);
70     alpha0_deg = convang(alpha0_rad, 'rad', 'deg');
71     theta0_rad = alpha0_rad - myAC.mu_x + gamma0;
72     theta0_deg = convang(theta0_rad, 'rad', 'deg');
73     delta_e0_rad = x(2);
74     delta_e0_deg = convang(delta_e0_rad, 'rad', 'deg');
75     delta_s0_rad = x(3);
76     delta_s0_deg = convang(delta_s0_rad, 'rad', 'deg');
77     delta_T0 = x(4);
78
79     disp( '')
80     disp('Condizione di trim:')
81     disp(['Velocit ' num2str(V0) ' m/s'])
82     disp(['Angolo d''attacco ' num2str(alpha0_deg) ' deg'])
83     disp(['Angolo di deflessione dell''elevatore ' num2str(delta_e0_deg)
84           ' deg'])
85     disp(['Angolo di deflessione dello stabilizzatore ' num2str(
86           delta_s0_deg) ' deg'])
87     disp(['Grado di ammissione della manetta ' num2str(delta_T0)])
88
89 end
90
91 %% Assegnazione delle leggi temporali dei comandi di volo
92 global t_sim_first...
93         t_fin...
94         delta_e...
95         delta_s...
96         delta_T
97
98 t_fin = 30; %Tempo finale di simulazione [s]
99 t_sim_first = 1; %Tempo di simulazione per la prima fase di volo [s]
100
101 delta_e = @(t) interp1([0,t_sim_first],[delta_e0_rad,delta_e0_rad],t, '
102         linear');
103 delta_s = @(t) interp1([0,t_fin],[delta_s0_rad,delta_s0_rad],t, 'linear');
104 delta_T = @(t) interp1([0,t_fin],[delta_T0,delta_T0],t, 'linear');
105
106 error = @(delta_tab) mismatch(delta_tab,alpha0_rad,theta0_rad,
107         delta_e0_rad);
108
109 delta_t_guessvalue = convang(0,'deg','rad');
110 options = optimset('Tolfun', 1e-9);
111 delta_tab_star = fsolve(error,delta_t_guessvalue,options);
112 disp(['Angolo di deflessione dell''aletta tab tale per cui l''angolo di
113         deflessione dell''equilibratore uguaglia il valore di trim ' num2str(
114         convang(delta_tab_star,'rad','deg')) ' deg'])
115
116 global delta_tab
117 delta_tab = @(t) interp1([0, t_sim_first, t_sim_first + 1, t_fin],...
118         [0 0, delta_tab_star, delta_tab_star],...
119         t, 'linear');
120
121 %% Prima fase di volo: volo a comandi bloccati
122 % Integrazione delle equazioni del moto a 3-DoF
123 state0_first = [V0,alpha0_rad,q0,xEG_0,zEG_0,theta0_rad];
124

```

```

119 %Integrazione del sistema di equazioni differenziali
120 options = odeset('RelTol', 1e-9, 'AbsTol', 1e-9*ones(1,6));
121 [vTime1,mState1] = ode45(@eqLongDynamicStickFixed,[0 t_sim_first],
    state0_first,options);
122
123 mState1_dot = zeros(length(vTime1),6);
124 for i = 1:length(vTime1)
125
126     mState1_dot(i,:) = eqLongDynamicStickFixed(vTime1(i),mState1(i,:));
127
128 end
129
130 %% Seconda fase di volo: volo a comandi liberi
131 % Integrazione delle equazioni del moto a (3+1)DoF
132
133 %Per l'intera durata della prima fase di volo i comandi sono assunti
134 %bloccati. Durante la prima fase di volo, dunque, la variazione nel tempo
135 %di \delta e risulta essere nulla. Tale valore nullo costituisce, inoltre,
136 %una delle condizioni iniziali per la successiva fase di volo.
137 delta_e0_dot_rad = convangvel(0,'deg/s','rad/s');
138 state0_second = [mState1(end,1),mState1(end,2),mState1(end,3),...
139                 mState1(end,4),mState1(end,5),mState1(end,6),...
140                 delta_e0_dot_rad,delta_e0_rad];
141
142 %Integrazione del sistema di equazioni differenziali
143 options = odeset('Mass',@MassStickFree,'RelTol', 1e-9, 'AbsTol', 1e-9*ones
    (1,8));
144 [vTime2,mState2] = ode45(@eqLongDynamicStickFree,[t_sim_first t_fin],
    state0_second,options);
145
146 mState2_dot = zeros(length(vTime2),8);
147 for i = 1:length(vTime2)
148
149     M = MassStickFree(vTime2(i),mState2(i,:));
150     mState2_dot(i,:) = M\eqLongDynamicStickFree(vTime2(i),mState2(i,:));
151
152 end
153
154 %Allocazione in memoria delle storie temporali delle due fasi di volo
155 mState1 = [mState1,zeros(length(vTime1),1),delta_e0_rad*ones(length(
    vTime1),1)];
156 mState_fin = [mState1;mState2(2:end,1:end)];
157 mState1_dot = [mState1_dot,zeros(length(vTime1),1),zeros(length(vTime1)
    ,1)];
158 mState_fin_dot = [mState1_dot;mState2_dot(2:end,1:end)];
159 vTime_fin = [vTime1;vTime2(2:end)];
160
161 %% Grafica
162 %Leggi temporali delle variabili di stato, del momento aerodinamico di
163 %cerniera e dei fattori di carico
164 vVel = mState_fin(:,1);
165 vDelta_V = vVel - V0;
166 vAlpha_rad = mState_fin(:,2);
167 vAlpha_deg = convang(vAlpha_rad,'rad','deg');
168 vDelta_alpha_rad = vAlpha_rad - alpha0_rad;
169 vDelta_alpha_deg = convang(vDelta_alpha_rad,'rad','deg');

```

```

170 v_q_rad = mState_fin(:,3);
171 v_q_deg = convangvel(v_q_rad, 'rad/s', 'deg/s');
172 vDelta_q_rad = v_q_rad - q0;
173 vDelta_q_deg = convangvel(vDelta_q_rad, 'rad/s', 'deg/s');
174 vXe = mState_fin(:,4);
175 vZe = mState_fin(:,5);
176 vDelta_h = -(vZe - zEG_0);
177 vTheta_rad = mState_fin(:,6);
178 vTheta_deg = convang(vTheta_rad, 'rad', 'deg');
179 vAlphaB_rad = vAlpha_rad - myAC.mu_x;
180 vAlphaB_deg = convang(vAlphaB_rad, 'rad', 'deg');
181 vGamma_rad = vTheta_rad - vAlphaB_rad;
182 vGamma_deg = convang(vGamma_rad, 'rad', 'deg');
183 vDelta_e_rad = mState_fin(:,8);
184 vDelta_e_deg = convang(vDelta_e_rad, 'rad', 'deg');
185 vDelta_e_dot_rad = mState_fin(:,7);
186 vDelta_e_dot_deg = convangvel(vDelta_e_dot_rad, 'rad/s', 'deg/s');
187
188 vVel_dot = mState_fin_dot(:,1);
189 vAlpha_dot_rad = mState_fin_dot(:,2);
190 v_q_dot_rad = mState_fin_dot(:,3);
191 vTheta_dot_rad = mState_fin_dot(:,6);
192 vGamma_dot_rad = vTheta_dot_rad - vAlpha_dot_rad;
193 vDelta_e_dot_rad = mState_fin_dot(:,8);
194 vAlpha_h_rad = (1 - myAC.DepsDalphi)*vAlphaB_rad - myAC.eps_0 + ...
195             delta_s(vTime_fin) + myAC.mu_x;
196 vAlpha_h_dot_rad = (1 - myAC.DepsDalphi)*vAlpha_dot_rad;
197 v_fxa = -(sin(vGamma_rad) + (vVel_dot/g));
198 v_fza = cos(vGamma_rad) + (vVel_dot.*vGamma_dot_rad/g);
199
200
201 delta_e_float = mState_fin(end,8);
202 disp(['Angolo di flottaggio ' num2str(convang(delta_e_float, 'rad', 'deg'))
      ' deg'])

```

A fronte delle omonime funzioni descritte accuratamente nei Quaderni precedenti, la *eqLongDynamicStickFixed_{Delta_tab}* e la *eqLongDynamicStickFree_{Delta_tab}* risultano differenti nel numero di variabili di input da importare, dovendo ora trattare anche il parametro δ_t .

Si riporta il diagramma delle storie temporali delle grandezze inerenti alla deflessione dell'equilibratore.

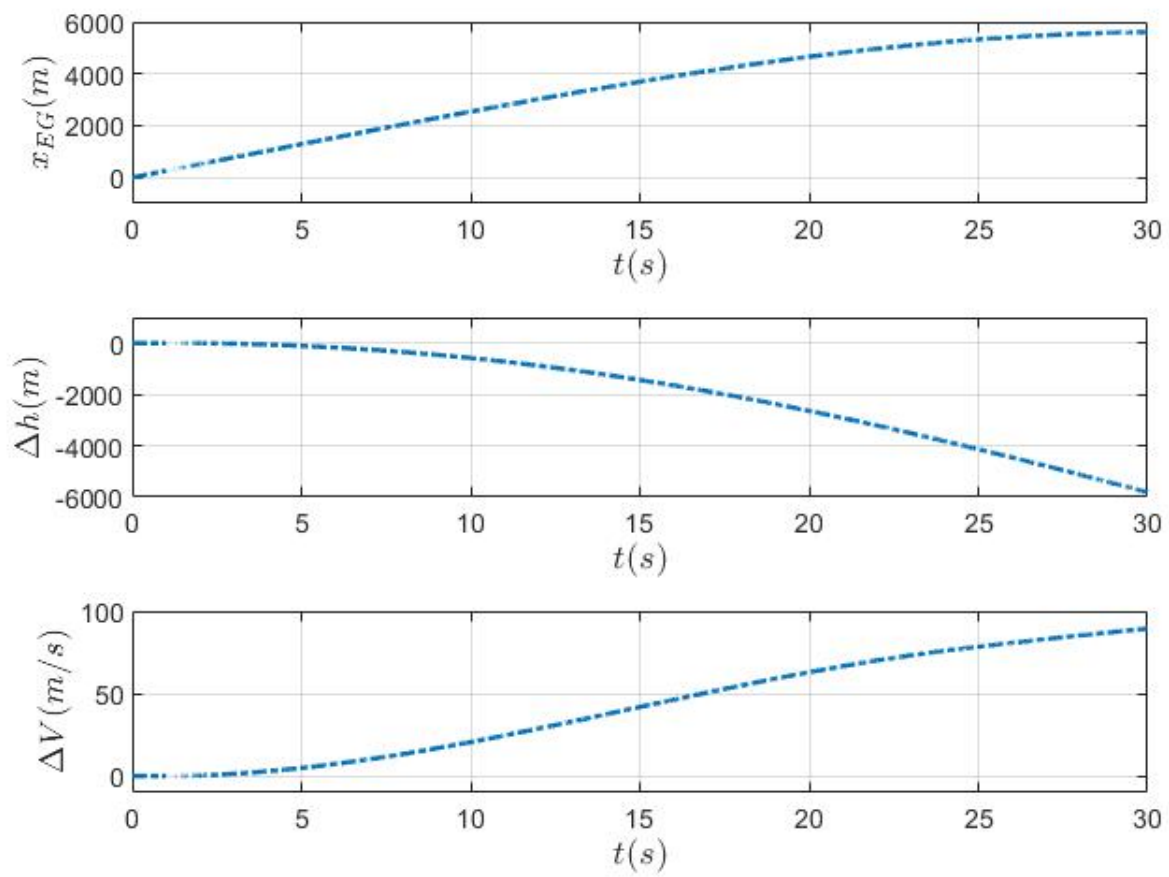


Figura 3.5 Storie temporali delle grandezze inerenti alla deflessione.

3.4 Esercizio 11.4 - Matlab

Si sviluppa un codice di calcolo che effettui l'integrazione numerica del sistema di equazioni ???. Si assegni, durante la fase di volo a comandi bloccati, una legge dell'equilibratore del tipo "cabra-picchia" che: per un tempo $t_1 = 1$ s mantenga fissa l'escursione δ_e , pari al valore di equilibrio iniziale; a partire dall'istante t_1 fino all'istante $t_2 = 2.50$ s, incrementi linearmente la deflessione dell'equilibratore dal valore $\delta_{e,0}$ al valore $\delta_{e,0} + \Delta\delta_e$, con $\Delta\delta_e = 0$; a partire dall'istante t_2 fino all'istante $t_3 = 4$ s, riporti linearmente la deflessione dell'equilibratore al valore iniziale di equilibrio $\delta_{e,0}$. Per la restante durata della manovra, infine, si ipotizza che il pilota lasci libero il comando.

Si riporta il codice di calcolo nel quale si assegnano le leggi dei comandi.

Listing 3.5

```

1 % Simulazione del moto a 3-DOF con legge di delta_e assegnata
2
3 clear all; close all; clc;
4
5 disp('Moto del velivolo a 3 gradi di libert ');
6 disp('Risoluzione del problema di trim ad una data altitudine e velocit
   di volo');
7
8 %% Dichiarazione delle variabili globali
9 global g... %Accelerazione di gravit
10 zEG_0 V0 q0 gamma0... %Condizioni iniziali
11 rho0 ... %Densit dell'aria all'altitudine h = (-
   zEG_0)
12 myAC %Oggetto 'Velivolo'
13
14 %% Definizione della classe DSVAircraft e dell'oggetto 'Velivolo'
15 aircraftDataFileName = 'DSV_Aircraft_data.txt';
16
17 %Definizione dell'oggetto 'Velivolo'
18 myAC = DSVAircraft(aircraftDataFileName);
19
20 if (myAC.err == -1)
21     disp('Terminazione.')
22 else
23     disp(['File ',aircraftDataFileName,' letto correttamente.']);
24
25     % Costanti e condizioni iniziali
26     g = 9.81; %Accelerazione di gravit espressa [m/s^2]
27     xEG_0 = 0; %[m]
28     zEG_0 = -4000; %Altitudine espressa [m]
29     V0 = 257; %Velocit di volo espressa [m/s];
30     q0 = convangvel(0.000,'deg/s','rad/s'); %Velocit angolare di
   beccheggio [rad/s]
31     gamma0 = convang(0.000,'deg','rad'); %Angolo di rampa [rad]
32     [air_Temp0,sound_speed0,air_pressure0,rho0] = atmosisa(-zEG_0);
33
34     %% Processo di minimizzazione della funzione di costo
35     %Valore di tentativo iniziale per il design vector
36     x0 = [0; %Valore di tentativo iniziale per alpha0 [rad]

```

```

37         0;      %Valore di tentativo iniziale per delta_e0 [rad]
38         0;      %Valore di tentativo iniziale per delta_s0 [rad]
39         0.5]; %Valore di tentativo iniziale per delta_T0
40
41     %Assegnazione del vincolo a delta_s0
42     Aeq = zeros(4,4);
43     Aeq(3,3) = 1;
44     beq = zeros(4,1);
45     delta_s0 = -1.500; %[deg]
46     beq(3,1) = convang(delta_s0, 'deg', 'rad');
47
48     %Limiti
49     lb = [convang(-15, 'deg', 'rad'),... %Valore minimo per alpha
50          convang(-20, 'deg', 'rad'),... %Valore minimo per delta_e_0
51          convang(-5, 'deg', 'rad'),...  %Valore minimo per delta_s_0
52          0.2]; %Valore minimo per delta_T_0
53     ub = [convang(15, 'deg', 'rad'),... %Valore massimo per alpha
54          convang(13, 'deg', 'rad'),... %Valore massimo per delta_e_0
55          convang(5, 'deg', 'rad'),...  %Valore massimo per delta_s_0
56          1.0]; %Valore massimo per delta_T_0
57
58     %Opzioni di ricerca del minimo
59     options = optimset('tolfun',1e-9,'Algorithm','interior-point');
60
61     %Chiamata alla funzione 'fmincon'
62     [x,fval] = fmincon(@costLongEquilibriumStaticStickFixed,...
63                      x0,...
64                      [],[],Aeq,beq,...
65                      lb,ub,...
66                      @myNonLinearConstraint,...
67                      options);
68
69     alpha0_rad = x(1);
70     alpha0_deg = convang(alpha0_rad, 'rad', 'deg');
71     theta0_rad = alpha0_rad - myAC.mu_x + gamma0;
72     theta0_deg = convang(theta0_rad, 'rad', 'deg');
73     delta_e0_rad = x(2);
74     delta_e0_deg = convang(delta_e0_rad, 'rad', 'deg');
75     delta_s0_rad = x(3);
76     delta_s0_deg = convang(delta_s0_rad, 'rad', 'deg');
77     delta_T0 = x(4);
78
79     disp('')
80     disp('Condizione di trim:')
81     disp(['Velocit ' num2str(V0) ' m/s'])
82     disp(['Angolo d''attacco ' num2str(alpha0_deg) ' deg'])
83     disp(['Angolo di deflessione dell''elevatore ' num2str(delta_e0_deg)
84     ' deg'])
85     disp(['Angolo di deflessione dello stabilizzatore ' num2str(
86     delta_s0_deg) ' deg'])
87     disp(['Grado di ammissione della manetta ' num2str(delta_T0)])
88
89 end
90
91 %% Assegnazione delle leggi temporali dei comandi di volo
92 t_fin = 30; %Tempo di simulazione per l'intera fase di volo [s]

```

```

91 t_sim_first = 4; %Tempo di simulazione per la prima fase di volo [s]
92
93 global delta_e...
94     delta_tab...
95     delta_s...
96     delta_T
97
98 delta_e_excursion = convang(-3,'deg','rad');
99 delta_e = @(t) interp1([0, 1, 2.5, t_sim_first],...
100     [delta_e0_rad, delta_e0_rad, delta_e0_rad +
101     delta_e_excursion, delta_e0_rad],...
102     t,'linear');
103 delta_tab = @(t) 0*t;
104 delta_s = @(t) interp1([0,t_fin],[delta_s0_rad,delta_s0_rad],t,'linear');
105 delta_T = @(t) interp1([0,t_fin],[delta_T0,delta_T0],t,'linear');
106
107 %% Prima fase di volo: volo a comandi bloccati
108 % Integrazione delle equazioni del moto a 3-DoF
109 state0_first = [V0,alpha0_rad,q0,xEG_0,zEG_0,theta0_rad];
110
111 %Integrazione del sistema di equazioni differenziali
112 options = odeset('RelTol', 1e-9,'AbsTol', 1e-9*ones(1,6));
113 [vTime1,mState1] = ode45(@eqLongDynamicStickFixed,[0 t_sim_first],
114     state0_first,options);
115
116 mState1_dot = zeros(length(vTime1),6);
117 for i = 1:length(vTime1)
118     mState1_dot(i,:) = eqLongDynamicStickFixed(vTime1(i),mState1(i,:));
119 end
120
121 delta_e_state1 = delta_e(vTime1);
122 delta_e_dot_state1 = diff(delta_e_state1)./diff(vTime1);
123 delta_e_dot_state1 = [delta_e_dot_state1;delta_e_dot_state1(end)];
124 mState1 = [mState1,delta_e_dot_state1,delta_e_state1];
125 delta_e_dotdot_state1 = diff(delta_e_dot_state1)./diff(vTime1);
126 delta_e_dotdot_state1 = [delta_e_dotdot_state1;delta_e_dotdot_state1(end)
127     ];
128 mState1_dot = [mState1_dot,delta_e_dotdot_state1,delta_e_dot_state1];
129
130 %% Seconda fase di volo: volo a comandi liberi
131 % Integrazione delle equazioni del moto a (3+1)DoF
132
133 %Per l'intera durata della prima fase di volo i comandi sono assunti
134 %bloccati. Durante la prima fase di volo, dunque, la variazione nel tempo
135 %di \deltae risulta essere nulla. Tale valore nullo costituisce, inoltre,
136 %una delle condizioni iniziali per la successiva fase di volo.
137 delta_e0_dot_rad = delta_e_dot_state1(end); %[rad/s]
138 state0_second = [mState1(end,1),mState1(end,2),mState1(end,3),...
139     mState1(end,4),mState1(end,5),mState1(end,6),...
140     delta_e0_dot_rad,delta_e0_rad];
141
142 %Integrazione del sistema di equazioni differenziali
143 options = odeset('Mass',@MassStickFree,'RelTol', 1e-9,'AbsTol', 1e-9*ones
144     (1,8));

```

```

143 [vTime2,mState2] = ode45(@eqLongDynamicStickFree,[t_sim_first t_fin],
    state0_second,options);
144
145 mState2_dot = zeros(length(vTime2),8);
146 for i = 1:length(vTime2)
147
148     M = MassStickFree(vTime2(i),mState2(i,:));
149     mState2_dot(i,:) = M\eqLongDynamicStickFree(vTime2(i),mState2(i,:));
150
151 end
152
153 %Allocazione in memoria delle storie temporali delle due fasi di volo
154 mState_fin = [mState1;mState2(2:end,1:end)];
155 mState_fin_dot = [mState1_dot;mState2_dot(2:end,1:end)];
156 vTime_fin = [vTime1;vTime2(2:end)];
157
158 %% Grafica
159 %Leggi temporali dei comandi di volo durante l'intera fase di volo
160 figure(1)
161 subplot 411
162 plot(vTime1,convang(delta_e(vTime1),'rad','deg'),'b-.','LineWidth',1.5);
163 grid on
164 xlim([0 t_sim_first])
165 ylim([-6 -1])
166 ylabel('$\delta_e(deg)$','interpreter','latex','fontsize',11);
167 subplot 412
168 plot(vTime_fin,delta_tab(vTime_fin),'b-.','LineWidth',1.5);
169 grid on
170 xlim([0 t_fin])
171 ylim([-1 1])
172 ylabel('$\delta_t(deg)$','interpreter','latex','fontsize',11);
173 subplot 413
174 plot(vTime_fin,convang(delta_s(vTime_fin),'rad','deg'),'b-.','LineWidth',
    ,1.5);
175 grid on
176 xlim([0 t_fin])
177 ylim([-2 -0.5])
178 ylabel('$\delta_s(deg)$','interpreter','latex','fontsize',11);
179 subplot 414
180 plot(vTime_fin,delta_T(vTime_fin),'b-.','LineWidth',1.5);
181 grid on
182 xlim([0 t_fin])
183 xlabel('$t(s)$','interpreter','latex','fontsize',11);
184 ylim([0 1])
185 ylabel('$\delta_T$','interpreter','latex','fontsize',11);
186
187 %Leggi temporali delle variabili di stato, del momento aerodinamico di
188 %cerniera e dei fattori di carico
189 vVel = mState_fin(:,1);
190 vDelta_V = vVel - V0;
191 vAlpha_rad = mState_fin(:,2);
192 vAlpha_deg = convang(vAlpha_rad,'rad','deg');
193 vDelta_alpha_rad = vAlpha_rad - alpha0_rad;
194 vDelta_alpha_deg = convang(vDelta_alpha_rad,'rad','deg');
195 v_q_rad = mState_fin(:,3);
196 v_q_deg = convangvel(v_q_rad,'rad/s','deg/s');

```

```

197 vDelta_q_rad = v_q_rad - q0;
198 vDelta_q_deg = convangvel(vDelta_q_rad, 'rad/s', 'deg/s');
199 vXe = mState_fin(:,4);
200 vZe = mState_fin(:,5);
201 vDelta_h = -(vZe - zEG_0);
202 vTheta_rad = mState_fin(:,6);
203 vTheta_deg = convang(vTheta_rad, 'rad', 'deg');
204 vAlphaB_rad = vAlpha_rad - myAC.mu_x;
205 vAlphaB_deg = convang(vAlphaB_rad, 'rad', 'deg');
206 vGamma_rad = vTheta_rad - vAlphaB_rad;
207 vGamma_deg = convang(vGamma_rad, 'rad', 'deg');
208 vDelta_e_rad = mState_fin(:,8);
209 vDelta_e_deg = convang(vDelta_e_rad, 'rad', 'deg');
210 vDelta_e_dot_rad = mState_fin(:,7);
211 vDelta_e_dot_deg = convangvel(vDelta_e_dot_rad, 'rad/s', 'deg/s');
212
213 vVel_dot = mState_fin_dot(:,1);
214 vAlpha_dot_rad = mState_fin_dot(:,2);
215 v_q_dot_rad = mState_fin_dot(:,3);
216 vTheta_dot_rad = mState_fin_dot(:,6);
217 vGamma_dot_rad = vTheta_dot_rad - vAlpha_dot_rad;
218 vDelta_e_dot_rad = mState_fin_dot(:,8);
219 vAlpha_h_rad = (1 - myAC.DepsDalpha)*vAlphaB_rad - myAC.eps_0 + ...
220             delta_s(vTime_fin) + myAC.mu_x;
221 vAlpha_h_dot_rad = (1 - myAC.DepsDalpha)*vAlpha_dot_rad;
222 v_fxa = -(sin(vGamma_rad) + (vVel_dot/g));
223 v_fza = cos(vGamma_rad) + (vVel_dot.*vGamma_dot_rad/g);
224
225
226 delta_e_float = mState_fin(end,8);
227 disp(['Angolo di flottaggio ' num2str(convang(delta_e_float, 'rad', 'deg'))
228      ' deg'])
229
230 figure(2)
231 subplot 311
232 plot(vTime_fin, vXe, '-.', 'LineWidth', 1.5);
233 grid on
234 xlim([0 t_fin])
235 xlabel('$t$ (s)', 'interpreter', 'latex', 'fontsize', 11);
236 ylim([-1000 7000])
237 ylabel('$x_{EG}$ (m)', 'interpreter', 'latex', 'fontsize', 11)
238 subplot 312
239 plot(vTime_fin, vDelta_h, '-.', 'LineWidth', 1.5);
240 grid on
241 xlim([0 t_fin])
242 xlabel('$t$ (s)', 'interpreter', 'latex', 'fontsize', 11);
243 ylim([-6000 1000])
244 ylabel('$\Delta h$ (m)', 'interpreter', 'latex', 'fontsize', 11)
245 subplot 313
246 plot(vTime_fin, vDelta_V, '-.', 'LineWidth', 1.5);
247 grid on
248 xlim([0 t_fin])
249 xlabel('$t$ (s)', 'interpreter', 'latex', 'fontsize', 11);
250 ylim([-10 100])
251 ylabel('$\Delta V$ (m/s)', 'interpreter', 'latex', 'fontsize', 11)

```

```

252 figure(3)
253 subplot 311
254 plot(vTime_fin,vDelta_alpha_deg,'-.','LineWidth',1.5);
255 grid on
256 xlim([0 t_fin])
257 ylim([-4.5 4])
258 ylabel('$\Delta \alpha$ (deg)$','interpreter','latex','fontsize',11);
259 subplot 312
260 plot(vTime_fin,vDelta_q_deg,'-.','LineWidth',1.5);
261 grid on
262 xlim([0 t_fin])
263 xlabel('$t$ (s)$','interpreter','latex','fontsize',11);
264 ylim([-11 6])
265 ylabel('$\Delta q$ (deg/s)$','interpreter','latex','fontsize',11);
266 subplot 313
267 plot(vTime_fin,vTheta_deg,'-.','LineWidth',1.5);
268 hold on;
269 plot(vTime_fin,vGamma_deg,':','color',[0.4660, 0.6740, 0.1880],'LineWidth
    ',1.5);
270 grid on
271 lgd = legend('$\theta(t)$','$\gamma(t)$');
272 lgd.Interpreter = 'latex';
273 lgd.FontSize = 11;
274 xlim([0 10])
275 xlabel('$t$ (s)$','interpreter','latex','fontsize',11);
276 ylim([-40 15])
277 ylabel('$$(deg/s)$','interpreter','latex','fontsize',11);
278
279 figure(4)
280 subplot 211
281 plot(vTime_fin,vDelta_e_deg,'-.','LineWidth',1.5);
282 grid on
283 xlim([0 6])
284 ylim([-6 3])
285 ylabel('$\delta_{e}$ (deg)$','interpreter','latex','fontsize',11);
286 subplot 212
287 plot(vTime_fin,vDelta_e_dot_deg,'-.','LineWidth',1.5);
288 grid on
289 xlim([0 6])
290 ylim([-200 250])
291 ylabel('$\dot{\delta}_{e}$ (deg/s)$','interpreter','latex','fontsize',11);
292
293
294 figure(5)
295 subplot 311
296 plot(vTime_fin,convang(v_q_dot_rad,'rad','deg'),'-.','LineWidth',1.5);
297 grid on
298 xlim([6 t_fin])
299 xlabel('$t$ (s)$','interpreter','latex','fontsize',11);
300 ylim([-100 30])
301 ylabel('$\dot{q}$ (deg/s^2)$','interpreter','latex','fontsize',11);
302 subplot 312
303 plot(vTime_fin,v_fza,'-.','LineWidth',1.5);
304 grid on
305 xlim([0 t_fin])
306 ylim([-1 2])

```

```

307 ylabel('$f_{z_{A}}$', 'interpreter', 'latex', 'fontsize', 11);
308 subplot 313
309 plot(vTime_fin, v_fxa, '-.', 'LineWidth', 1.5);
310 grid on
311 xlim([0 t_fin])
312 xlabel('$t$ (s)$', 'interpreter', 'latex', 'fontsize', 11);
313 ylim([-1 1])
314 ylabel('$f_{x_{A}}$', 'interpreter', 'latex', 'fontsize', 11);

```

Si riportano i risultati della simulazione in esame.

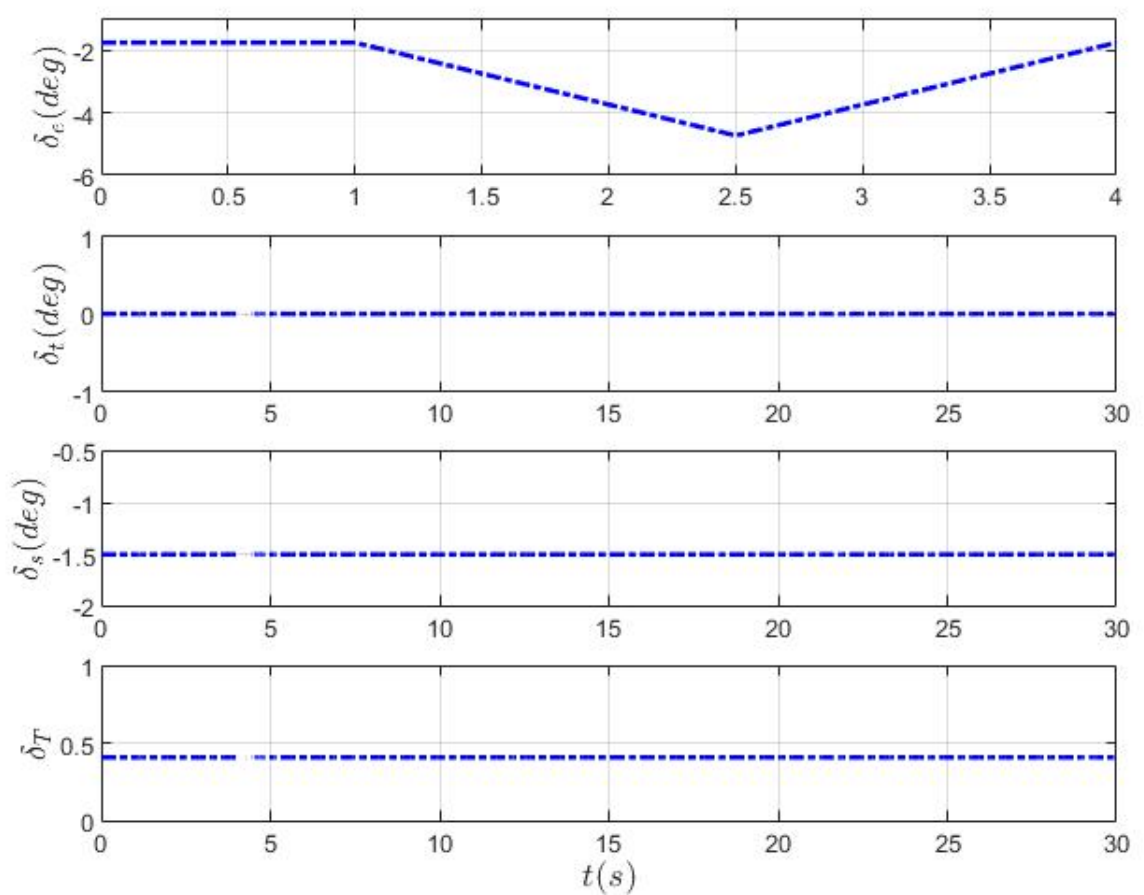


Figura 3.6 Storie temporali dei comandi di volo assegnate a partire dai rispettivi valori di equilibrio.

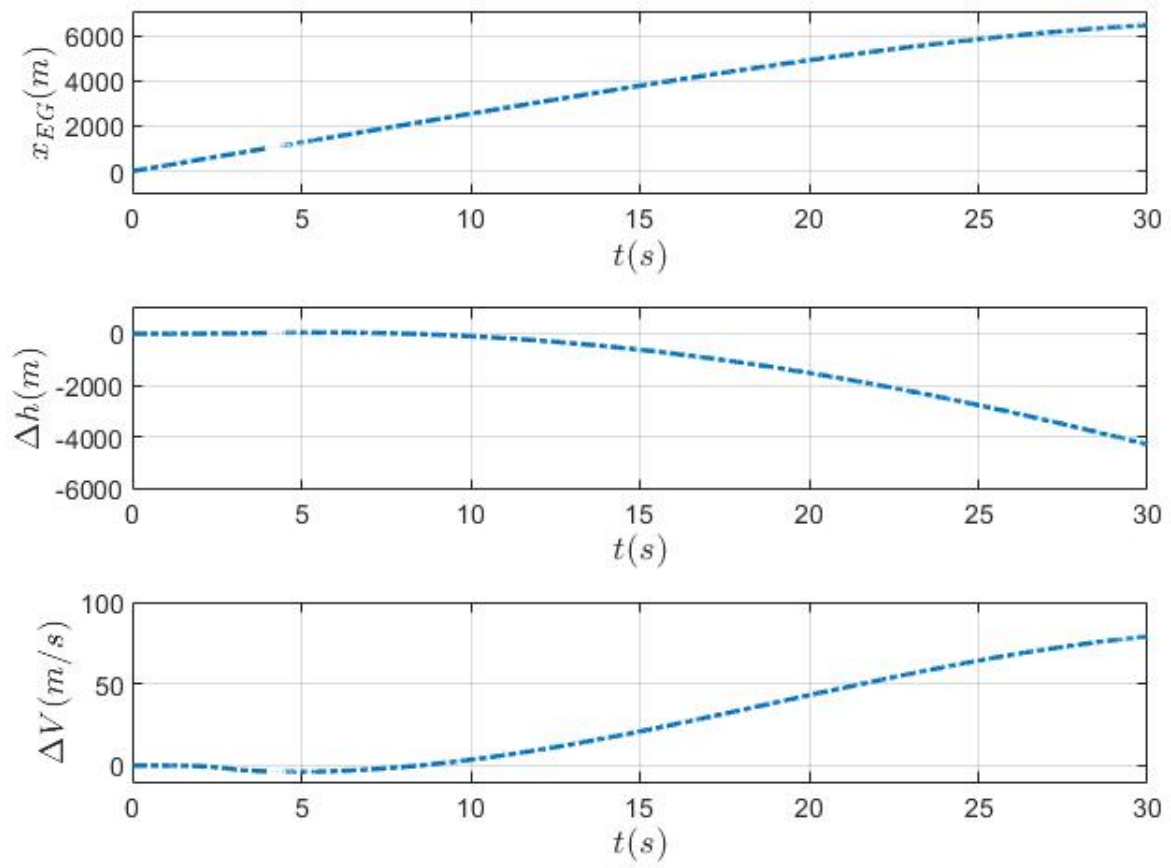


Figura 3.7 Storie temporali di alcune delle variabili di stato.

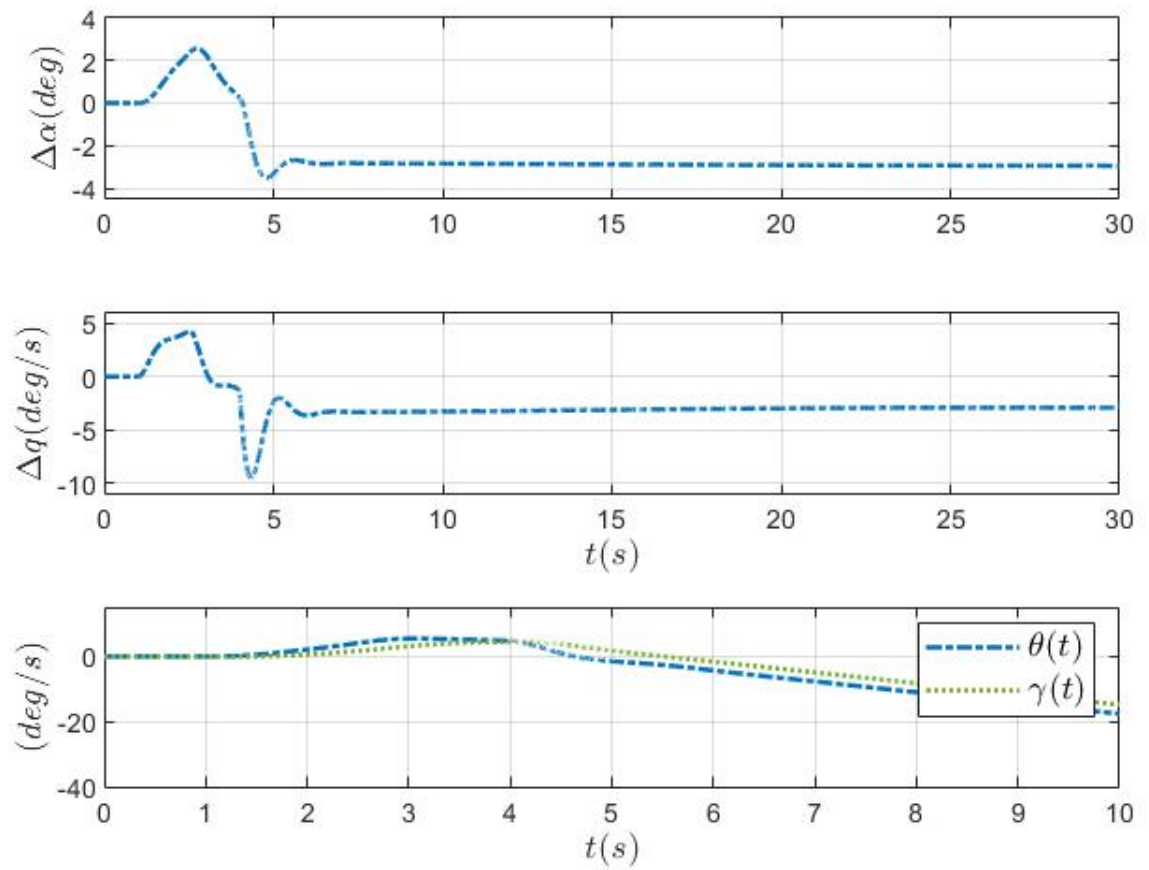


Figura 3.8 Storie temporali di alcune delle variabili di stato.

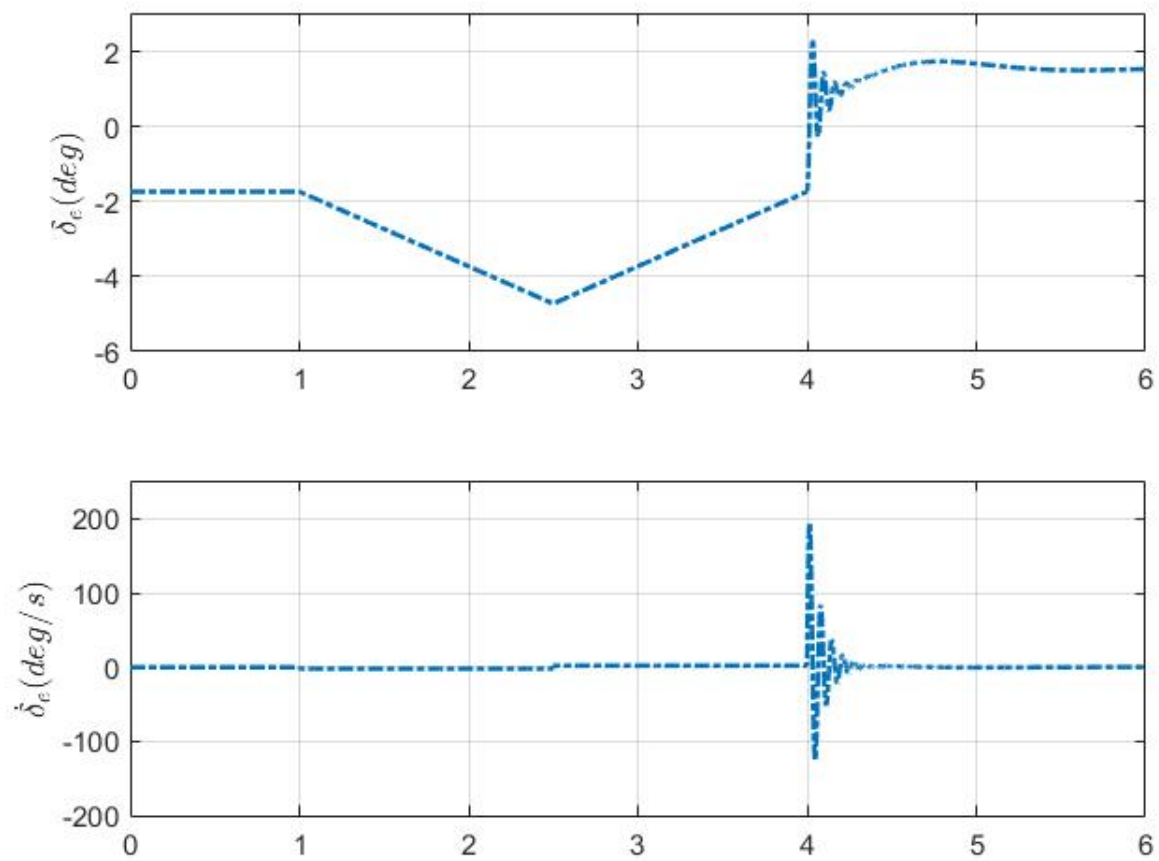


Figura 3.9 Storie temporali delle grandezze concernenti la deflessione dell'equilibratore.

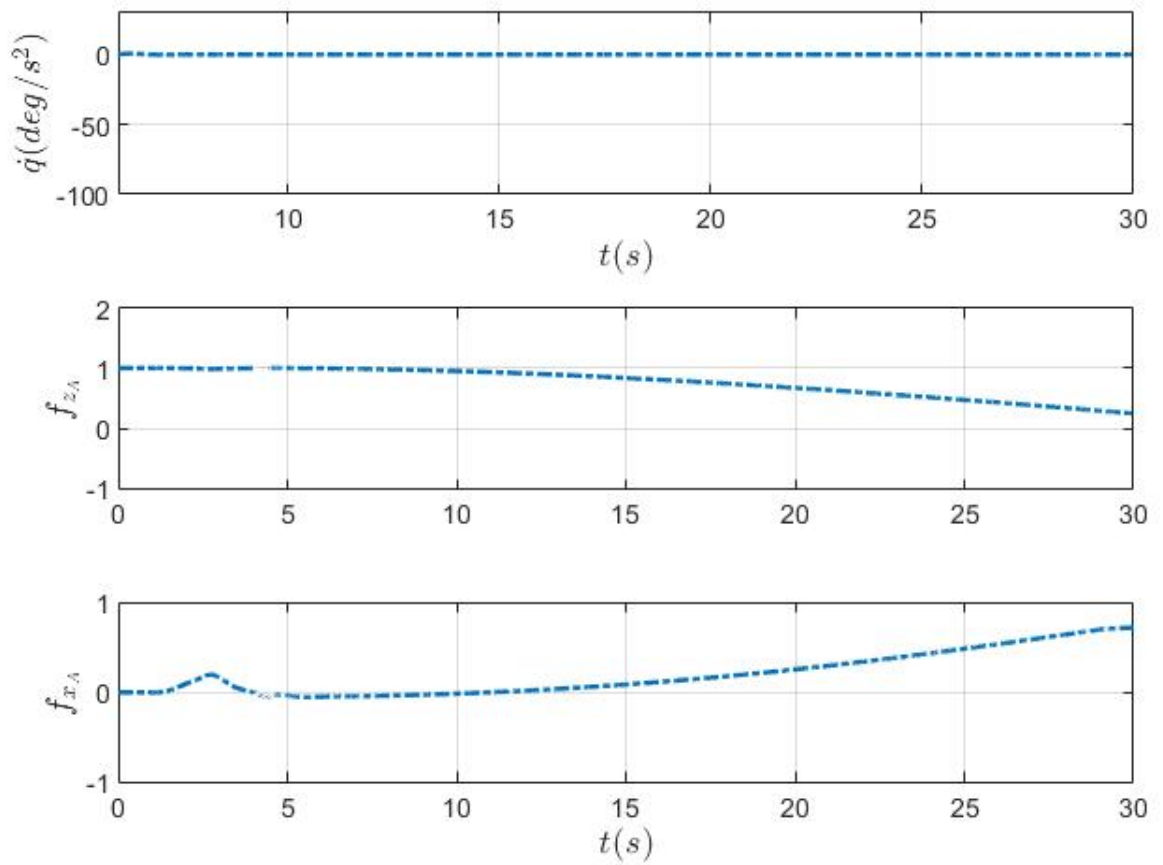


Figura 3.10 Storie temporali dell'accelerazione angolare di beccheggio e dei fattori di carico.

Bibliografia

- [1] D. Coiro A. De Marco. “Orientamento del velivolo e trasformazione di assi”, *Elementi di Dinamica e simulazione di volo*, Quaderno 2. 2017.
- [2] D. Coiro A. De Marco. “Quaternione dell'orientamento di un velivolo”, *Elementi di Dinamica e simulazione di volo*, Quaderno 3. 2017.
- [3] D. Coiro A. De Marco. “Terne di riferimento”, *Elementi di Dinamica e simulazione di volo*, Quaderno 1. 2017.
- [4] W. H. Press et al. *Numerical Recipes in Fortran: The Art of Scientific Computing*. Cambridge University Press, 1992.
- [5] S. R. Vukelich e J. E. Williams. *The USAF Stability and Control Digital Datcom*. AFFDL-TR-79-3032. Updated by Public Domain Aeronautical Software 1999. Apr. 1979. Volume I.
- [6] J. E. Williams e S. R. Vukelich. *The USAF Stability and Control Digital DATCOM. Volumes I, II, III. Implementation of Datcom Methods*. Rapp. tecn. (Revised 1978). 1979.